

ANALÝZA KVALITATIVNÍ

Úkol: ze kterých prvků či skupin se anal. látka skládá

Důkaz: \rightarrow instrumentální metody (spektrální, elektrochemické)

\rightarrow chemické metody, jednoduché proředení

Poznátky: 1) posouzení vzhledu (krystal. stav, homogenita, zápach, barva, ...)

2) změny při změně fyzikálních podmínek (zahřívání látky, zbarvení plamene)

3) analytické reakce mezi zkoum. látkou a analytickým činidlem (vznik sraženiny, její charakter, barva, změna barvy roztoku, vývoj plynu)

Analytické reakce: acidobazické, sražecí, komplexotvorné, oxidačně-redukční, katalytické, indukované

Vzorky: anorganická kvalitativní analýza - routové sloučeniny - disociace - ionty v roztoku

Doporučený postup kvalitativní analýzy:

1) Odběr vzorku a jeho popis

2) Předběžné zkoušky

3) Převedení vzorku do roztoku

4) Proředení důlka za kationtů v 1/3 roztoku

5) Proředení důlka za aniontů v 1/3 roztoku

6) Ověření výsledků ve abychvířící části roztoku nebo v přírodním vzorku

7) Závěr rozboru

Obecné zásady: 1) část vzorku uschovat

- 2) pracovní technika (makro-, mikro-, semimikro-
kapkové zkoušky) dle množství vzorku
- 3) známé množství vzorku, pak lze odhadnout
obsah složky
- 4) zaznamenávat pozorování
- 5) předběžné zkoušky
- 6) dokazovat jen ty prvky, které mohou být
na základě předvěš. zk. přítomny
- 7) výsledek rozbory musí souhlasit s pozorov.

PŘEDBĚŽNÉ ZKOUŠKY

Povaha vzorku:

a) Zahřívání v plameni za přístupu vzduchu

- hoření - org. látky
- tání, sublimace (amonné soli)
- tání (soli alkalických kovů)
- po žhnutí zbytek (slouč. těžkých kovů → oxidy)
- barvení plamene (žlutá - Na, cihl. červená - Ca, světle
fial. - K, zelená - Ba, tek. soli Cu a B)

b) Zkouška s H_2SO_4 b.a) zředěná

- vývin plynů zastudena (CO_2 z uhlíkatů, NO_2 z dusitanů)
- " " zatepla (SO_2 - z SO_3^{2-} , $S_2O_3^{2-}$, H_2S ze sulfidů,
HX z halogenidů)

b.b) koncentrována - uhebnatění (org. látky)

- vývin Br_2 , I_2 (oxidace Br^- a I^-)

SELEKTIVITA A PROVEDENÍ ANAL. REAKCÍ

Dle stupně selektivity reakce - skupinové A)
selektivní B)
specifické C)

a d A) SKUPINOVÁ ČINIDLA - větší skupina iontů vhodná k DĚLENÍ skupin iontů

a d B) SELEKTIVNÍ Č. - za určitých podmínek důkazuje omezené skupiny iontů

Ne prokazuje se přítomnost JEDINĚHO iontu JEDNOZNAČNĚ nutno doplnit DALŠÍMI selekt. reakcemi

STUPEŇ SELEKTIVITY závisí na reakčních podmínkách

a d C) SPECIFICKÁ Č. - za předepsaných podmínek dokazují JEDINÝ ION (je jich málo)

PROVEDENÍ REAKCÍ

- 1) Kapkové r. 0,03 ml
- 2) Mikrozkumavka 0,1 ml
- 3) Malá zkum. 1 ml
- 4) Běžná zkum. 5 ml
- (5) Mikroskop. r. 0,01 ml

MĚŘÍTKO CITLIVOSTI JE

MEZNÍ ZRE DĚNÍ

$$D = \frac{m.p. \text{ (mez postřehu)}}{V \cdot 10^6 \text{ (objem v cm}^3\text{)}}$$

$$\rho D = -\log D$$

m.p. = MEZ POSTŘEHU = nejmenší množství (μg), které lze dokázat

DĚLENÍ A DŮKAZY KATIONTŮ

Historicky: BÖTTGER, FRESENIUS - rozdílné vlastnosti

sulfidů: Činidla: HCl , H_2S , NH_4HS , $(\text{NH}_4)_2\text{CO}_3$

- 1. NEROZPUSTNÉ CHLORIDY
- 2. SULFIDY SRÁŽEJÍCÍ SE Z KYS. PROSTR.
- 3. SULFIDY A HYDROXIDY SRÁŽ. Z AMONIÁKALNÍHO PROSTR.

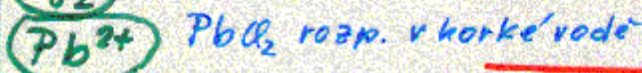
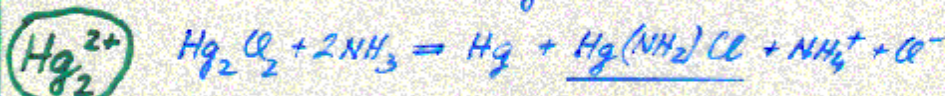
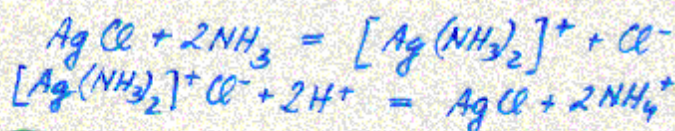
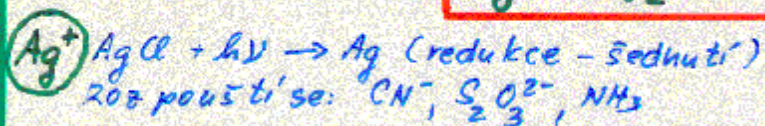
- 4. NEROZPUSTNÉ UHLIČITANY
- 5. KATIONTY, KTERÉ SE NESRÁŽÍJÍ ŽÁDNÝM Z UVEDENÝCH ĎINIDEL

Dnes: dělení se nepoužívá - nepohodlné (plynný H_2S)

Místo toho: SKUPINOVÉ REAKCE PARALELNĚ V ALIKVOTNÍCH PODÍLECH

SKUPINOVÉ REAKCE KATIONTŮ

1) REAKCE HCl Ag^+, Hg_2^{2+}, Pb^{2+}



2) REAKCE H_2SO_4 $Pb^{2+}, Ba^{2+}, Ca^{2+}$

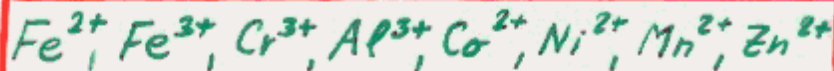
3) REAKCE $H_2S (H^+)$ Ag^+, Hg_2^{2+}, Pb^{2+}



CdS, SnS_2 - žluté, Sb_2S_3 oranžový, ostatní černé
 $3CuS \rightarrow Cu_2S + CuS + S$, polymerizující sulfidy MS_x
 Nižká koncentrace S^{2-} - srážejí se ty nejméně rozpustné sulfidy

4) REAKCE NH_4HS

Vyšší stupeň disociace na S^{2-} než H_2S v kys. prostředí,
proto se sraží i rozpustnější sulfidy:



$\text{FeS}, \text{Fe}_2\text{S}_3, \text{CoS}, \text{NiS}$ - černé

ZnS - bílý

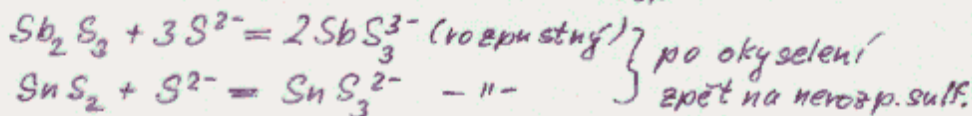
MnS - světlý, oxidace \Rightarrow tmavnutí

$\text{Cr}^{3+}, \text{Al}^{3+}$ - alkalické prostředí $\Rightarrow \text{Al}(\text{OH})_3$ - bílý, průsvitý

$\text{Cr}(\text{OH})_3$ - zelený

CoS, NiS - stárnutí, polymerace, na rozdíl od ostatních
sulfidů této skupiny se nerozpouštějí v HCl .

NH_4HS sraží i kationty skupiny č. 3 (jejich sulfidy jsou méně
rozpustné)



5) REAKCE NaOH

NESRAŽEJÍ SE: Alkalické kovy, NH_4^+

Kovy alkalických zemin (nedkonale Ca^{2+})

Amorfni, slizovité sraženiny: zásadité soli \rightarrow hydroxidy

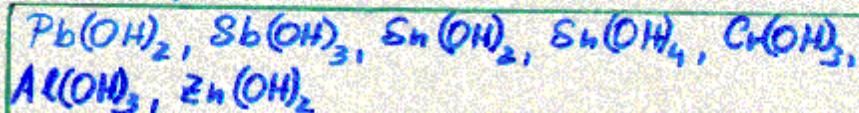
$\text{Fe}(\text{OH})_3 \sim \text{pH } 2,2$; $\text{Cu}(\text{OH})_2 \sim \text{pH } 5$; $\text{Mg}(\text{OH})_2 \sim \text{pH } > 9$

PŘEBYTEK HYDROXIDU \Rightarrow HYDROXOKOMPLEXY (ROZPUST.)

AMFOTERNÍ HYDROXIDY



AMFOTERNÍ:



Rozpouštění amfoter. hydroxidů - VYUŽITÍ PRO DĚLENÍ

Ušlechtilé kovy: $\text{Ag}^+, \text{Hg}^{2+} \Rightarrow$ oxidy Ag_2O (hnědý), HgO (zlatý)

Dismutace: $\text{Hg}_2^{2+} + 2\text{OH}^- = \text{HgO} + \text{Hg} + \text{H}_2\text{O}$ (černání)

$\text{Mn}^{2+}, \text{Co}^{2+}, \text{Fe}^{2+}$ oxidace hydroxidů O_2 , \Rightarrow změna zbarvení

světlý $\text{Mn(OH)}_2 \rightarrow$ hnědočerný Mn(OH)_3

sv. zelený $\text{Fe(OH)}_2 \rightarrow$ rezavě hnědý Fe(OH)_3

světlý $\text{Co(OH)}_2 \rightarrow$ hnědočerný Co(OH)_3

6) REAKCE NH_4OH

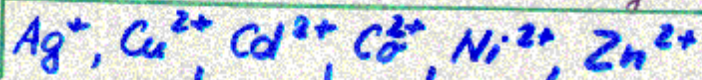
TLUMIVÁ SOUSTAVA $\text{NH}_4^+ / \text{NH}_3 \Rightarrow \text{pH } 9-10$

SRÁŽEJÍ SE: Kationty těžkých kovů

NESRÁŽÍ SE: Mg(OH)_2

NEROZPOUŠTĚJÍ SE: AMFOTERNÍ HYDROXIDY

AMMINKOMPLEXY - rozpustné (nadbytek NH_3) [$\text{M(NH}_3)_n$]^{z+}

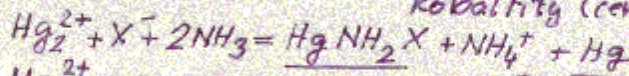


Aminokomplexy $\text{Ag}^+, \text{Cd}^{2+}, \text{Zn}^{2+}$ - bezbarvé

$\text{Cu}^{2+}, \text{Zn}^{2+}$ - modré

Co^{2+} - vzdušná oxidace \Rightarrow aminokomplex

kobaltitý (červený)



Millonovy báze: $2\text{Hg}^{2+} + 4\text{NH}_3 = (\text{Hg}_2\text{N})^+ + 3\text{NH}_4^+$

7) REAKCE KJ



AgJ - sv. žlutý

PbJ_2 - žlutý, rozpustný v horké vodě na bezbarvý roztok, z něhož krystaluje opět po ochlazení

Hg_2J_2 - červený

Hg_2J_2 - žlutozelený - rozklad: $\text{Hg}_2\text{J}_2 \rightarrow \text{HgJ}_2 + \text{Hg}$, šedne

sražení Cu^{2+} : $2\text{Cu}^{2+} + 4\text{J}^- = \text{2CuJ} + \text{J}_2$
bílý žl. zbarven hnědý

BiJ_3 - hnědočerný, hydrolyzá $\text{BiJ}_3 + \text{H}_2\text{O} \rightarrow \text{BiOJ} + 2\text{H}^+ + 2\text{J}^-$
oranžový

Přebytek jodidu \rightarrow komplexotvorné vlastnosti



Fe^{3+} - redoxní reakce $2\text{Fe}^{3+} + 2\text{J}^- \rightarrow 2\text{Fe}^{2+} + \text{J}_2$

Hnědé zbarvení roztoku vyloučeným jodem.

8) REAKCE HYDROLYTICKÉ

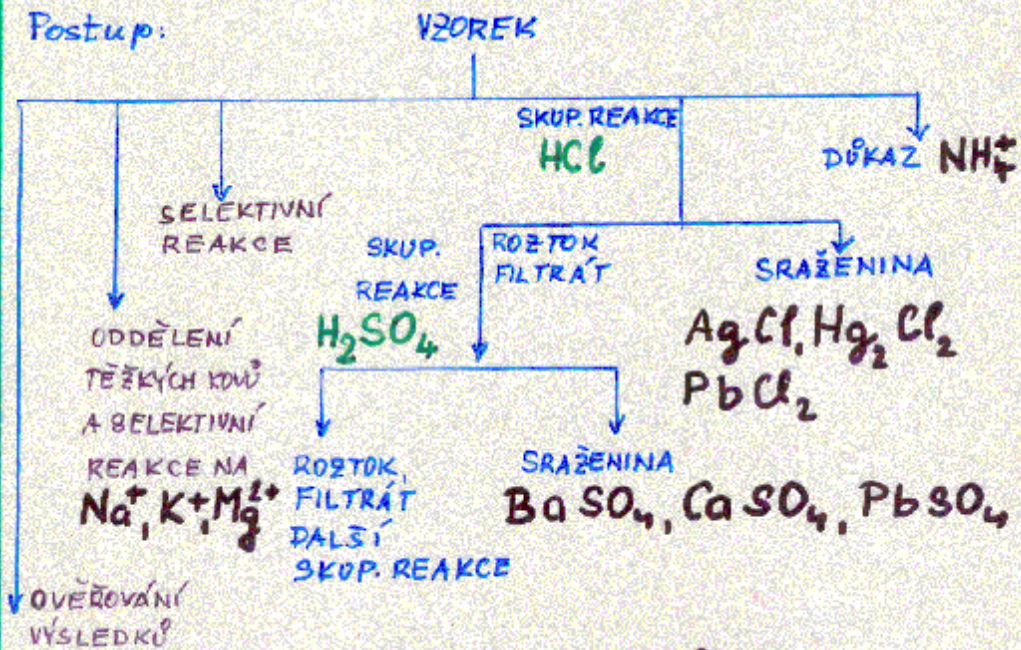
Snižování kyselosti roztoků \Rightarrow odštěpování H^+ z H_2O v hydratačních obalech kationtů \Rightarrow hydroxokomplexy, zdsadité soli a hydroxidy. Výrazná hydrolyzá ve formě chloridů: $\text{Bi}^{3+} + \text{H}_2\text{O} + \text{Cl}^- \rightarrow \text{BiOCl} + 2\text{H}^+$

Hydrolyzá: $\left\{ \begin{array}{l} \text{zředěním vodou} \\ \text{přídavkem octanového tlumiče} \end{array} \right.$



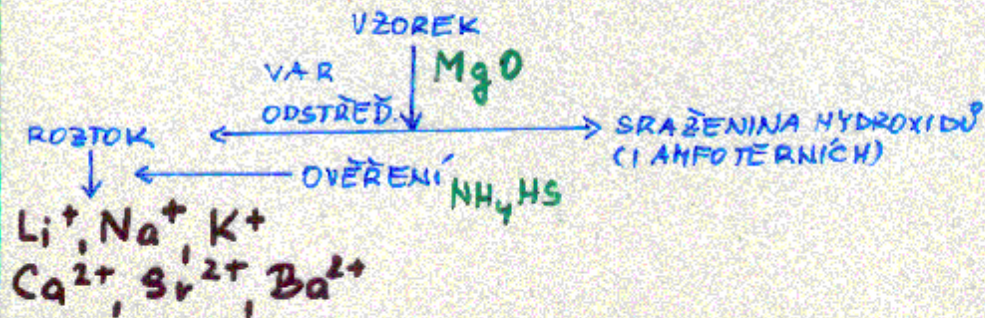
$\text{AcH}/\text{Ac}^- \sim \text{pH} 5$
 $\text{NH}_4^+, \text{Na}^+, \text{K}^+, \text{Hg}^{2+}$

SELEKTIVNÍ REAKCE KATIONTŮ



ODSTRAŇOVÁNÍ KATIONTŮ TK

- 1) NH_4HS
- 2) MgO : $\text{MgO} + \text{H}_2\text{O} \xrightarrow{\text{VAR}} \text{Mg(OH)}_2$ (SRAŽENINA)
 $\text{Me}^{2+} + \text{Mg(OH)}_2 \rightarrow \text{Me(OH)}_2 + \text{Mg}^{2+}$



SELEKTIVNÍ REAKCE KATIONTŮ ALKALIC. KOVŮ A KOVŮ ALKALICKÝCH ZEMIN

$\text{Li}^+, \text{Na}^+, \text{NH}_4^+$ — BEZBARVÉ SOLI DOBRĚ ROZPUSTNÉ
 K^+ — NETVOŘÍ STABILNÍ KOMPLEXY

$\text{Ca}^{2+}, \text{Sr}^{2+}, \text{Ba}^{2+}$ — SRAŽENINY: $\text{SO}_4^{2-}, \text{CrO}_4^{2-}, \text{OH}^-, \text{F}^-$;
 $\text{C}_2\text{O}_4^{2-}, \text{CO}_3^{2-}$

1) Plamenové zkoušky

Li^+ karmínově červená 670,0 nm
 Na^+ žlutá 589,6 a 589,0 nm
 K^+ fialová 404,7 nm + červená 768 nm
(Rb^+ červenofialová 421,9 a 420,2 nm)
(Cs^+ modrá 459,3 a 455,5 nm)
 Ca^{2+} cihlově červená 620 nm (+ zelená 554 nm)
 Sr^{2+} červená 674,7 a 662,8 nm + oranžová 606,0 nm
 Ba^{2+} zelená 531, 524 a 514 nm

2) Vlastnosti třídy $\text{Ca}^{2+}, \text{Sr}^{2+}, \text{Ba}^{2+}$

Srážení H_2SO_4 (sráží se i Pb^{2+}) — skupinová reakce

Rozpuštěnost soli:

$\text{SO}_4^{2-}, \text{CrO}_4^{2-}$: $\text{Ca}^{2+} > \text{Sr}^{2+} > \text{Ba}^{2+}$

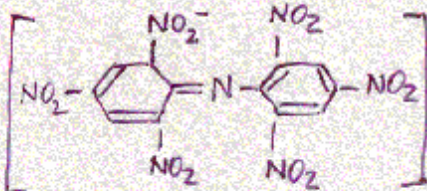
$\text{OH}^-, \text{F}^-, \text{C}_2\text{O}_4^{2-}$: $\text{Ca}^{2+} < \text{Sr}^{2+} < \text{Ba}^{2+}$

CO_3^{2-} : $\text{Ca}^{2+} \approx \text{Ba}^{2+} > \text{Sr}^{2+}$

Li⁺ LiCl x NaCl, KCl, CaCl₂, BaCl₂
 ↓
 ROZPUSTNÝ V ORGANICKÝCH ROZPOUŠTĚDLECH
 VHODNÉ PRO ODDĚLENÍ LI⁺ PRO PLAMENOVOU ZKOUŠKU

Na⁺ S OCTANEM BRANÝLO - ZINEČNATÝM: Na₂Mg(UO₂)(CH₃COO)₆ · 9H₂O
 ŽLUTÁ SRAŽENINA
 RUŠÍ TK

K⁺ S DIIKRYLAMINEM
 (HEXANITRODIFENYL-AMIN)
 ORANŽ-ČERVENÁ SRAŽENINA
 RUŠÍ NH₄⁺, H⁺, TK



NH₄⁺ S NESSLEROVÝM ČINIDLEM [HgI₄]²⁻ PŘÍPRAVA: HgCl₂ + 2KI → HgI₂ + 2KI → [HgI₄]²⁻, NaOH
 [HgI₄]²⁻ + NH₄⁺ → Hg₂I₃NH₂ → [Hg₂I₄]²⁻, NaOH
 ŽLUTÁ AŽ HNĚDÁ SRAŽ. V ALKAL. PROST.
 RUŠÍ VŠECHNY KATIONTY, KTERÉ SE SRÁŽEJÍ V ALKAL.

Mg²⁺ S MAGNEZONEM (4-NITROBENZENAZOREBORCIN NEBO 4-NITROBENZEN-1-NAFIDL)
 ČHRPOVĚ MODRÁ SRAŽENINA (V NaOH)
 SLEPÝ POKUS: ŽLUTÁ → PÍALOVÁ, O, ACIDOBÁZICKÝ IND.
 MODRÝCHELÁT - ADSORPCE NA Mg(OH)₂

S TITANOVOU ŽLUTÍ (=THIAZOLOVOU ŽLUTÍ)
 ČERVENÁ SRAŽENINA, SLEPÝ POKUS: ŽLUTÝ/ORANŽ. ☉

Ca²⁺ S KYSELINOU ŠŤÁVELOVDU - BÍLÁ KRYST. SRAŽENINA
 VE SLABĚ KYSL. PROSTŘEDÍ
 RUŠÍ: TK - ODSTRANĚNÍ S H₂O
 NERUŠÍ: Ba²⁺, Sr²⁺, alk. kovy.

Sr²⁺ S CHROMANEM (K₂CrO₄) PO ODDĚLENÍ TK
 Z O⁻ UHLIČTANŮ
 ŽLUTÁ SRAŽENINA SrCrO₄ X Ca-rovněž

Ba²⁺ - 1M H₂SO₄ ⇒ BaSO₄ nerozpustná
 - S CHROMANEM K - SLABĚ KYSELÉ PROSTŘEDÍ
 CH₃COOH, NEUTR. NEBO ALKAL.
 ŽLUTÁ SRAŽENINA ROZP. VE ZŘED. KYSELINÁCH
 RUŠÍ: TK a Sr²⁺
 Sr²⁺ se NESRAŽÍ VE 2M-CH₃COOH

MAŁO ROZPUSTNÉ CHLORIDY

Pb²⁺, Ag⁺, Hg₂²⁺ VZOREK
 + 1M H₂SO₄ + Odstředění
 SRAŽENINA
 + H₂S
 ČERNÁ ↓
PbS

ROZTOK ⊕
 ↓ 2M-HCl
 Odstředění

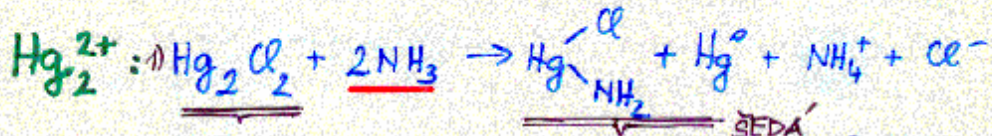
⊕
 ↓ + NH₃ (1:1)
 Odstředění
HgNH₂Cl + Hg⁰

⊕
 ↓ + 0,05M Mn²⁺, 1M NaOH
 ČERNÁ **Ag + MnO₂** - TANANAJEVOVA REAKCE

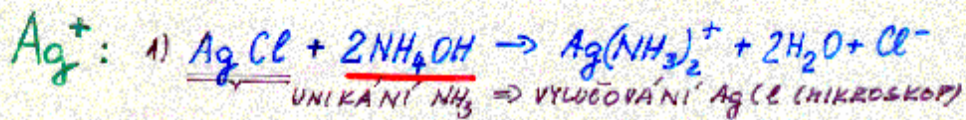
$$\text{Mn}^{2+} + 2\text{Ag}^+ + 4\text{OH}^- \rightarrow \text{MnO}_2 + 2\text{Ag}^0 + 2\text{H}_2\text{O}$$

MIKROSKOP
AgCl
 OKTAEDRICKÉ KRYSTALKY

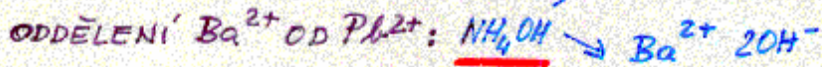
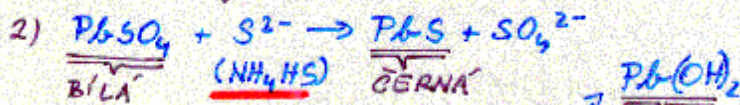
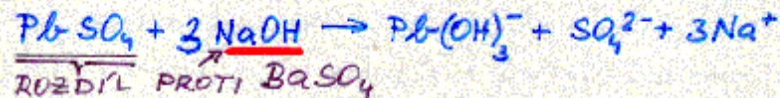
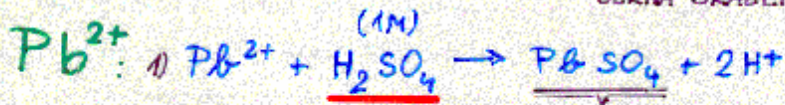
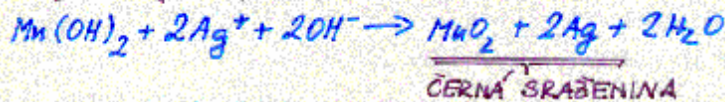
SKUPINA MÁLO ROZPUSTNÝCH CHLORIDŮ



2) KATALYTICKÁ OXIDACE HLINÍKU (Hg_2^{2+} , Hg_2^+ , Hg^0)
 RUŠÍ Cu^{2+} , Bi^{3+} a As^{III}



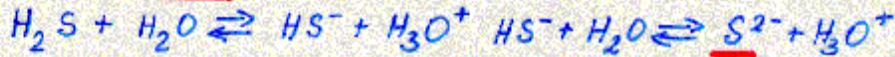
2) REDOXNÍ (TANANAJEVOVA) REAKCE



SULFIDY SRAŽEJÍCÍ SE Z KYSELÉHO PROSTŘEDÍ

PROSTŘEDÍ: 2M HCl

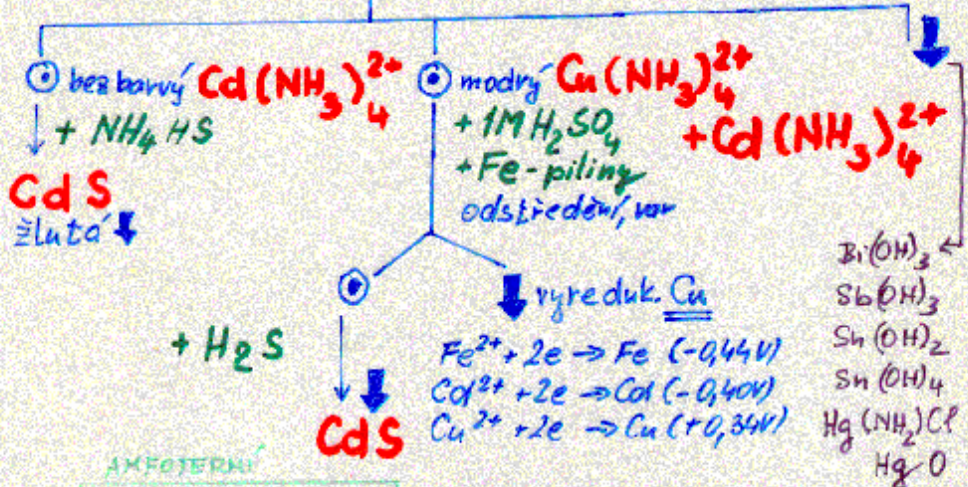
ČINI DLO: H₂S (PLYNNÝ NEBO ROZTOK)



HgS, CuS černé; Sb₂S₃ - oranž. červený, SnS - hnědý
 SnS₂ - špinavě žlutý, (PbS - černý, nedokon. sraž. PbCl₂)
 SnS₂ - rozpustný v nadb. NH₄HS => SnS₃²⁻

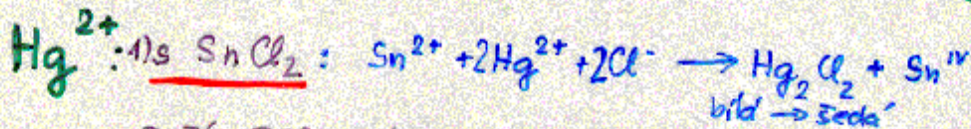
VYUŽITÍ AMONIAKÁLNÍHO DELENÍ (JEN IONTY Hg²⁺, Cu²⁺, Sb³⁺,
 Sn²⁺, Sn^{IV}, Bi³⁺, Cd²⁺)

1ml vzorku
 + NH₃ (1:1)



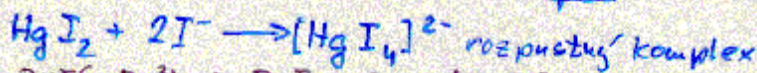
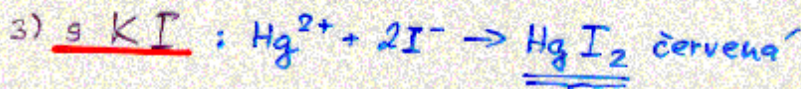
AMFOTERNÍ

Bi³⁺, Sb³⁺, Sn²⁺, Sn^{IV} - stále jen v silně kyselém prostředí
 ⇒ ŘEDĚNÍ V DDOU => BÍLÝ ZÁKAL
 VYLUČUJÍ SE NaAc (OCTAN)
 ODDĚLENÍ Bi³⁺ od Sb³⁺, Sn²⁺, Sn^{IV}:
 Sb(OH)₄⁻, Sn(OH)₆²⁻, Sn(OH)₃⁻
Bi(OH)₃ nerozpustný



RUŠÍ: Pb^{2+} , Ag^+ , Hg_2^{2+} - odstranění $2\text{H}-\text{HCl}$

2) KATALYTICKÁ OXIDACE HLINÍKV

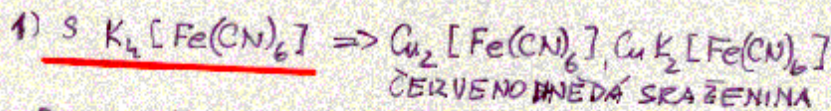


RUŠÍ: $\text{Bi}^{3+} \Rightarrow \text{BiI}_3 + \text{I}^- \rightarrow [\text{BiI}_4]^-$ žlutý \ominus

SORPCE NA CuI (BÍLÝ), PŘÍDAVEK CuSO_4

STABILIZACE HgI_2 NA CuI , BiI_3 SE ROZPUSTÍ

Cu^{2+} :



ROZP. V NH_3 A VE ZŘED. KYSELINÁCH

RUŠÍ Fe^{3+} - ODSTRANĚNÍ AMONIAKEM

BERLÍNSKÁ MODĚ

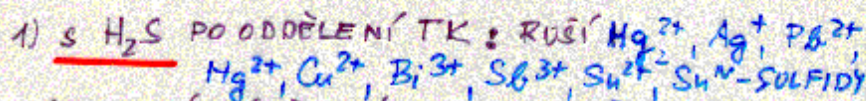
2) s KUPRALEM (DIETHYLDITHIOKARBAMINAN)

CHELÁT 1-2 - EXTRAKCE DO CHLOROFORMU

RUŠÍ: MÁLO ROZP. CHELÁTY: SELEKTIVNĚ V NH_3 VÝLUHU

A MASKOVÁNÍ EDTA \rightarrow POUZE HNĚDÝ CHELÁT S Cu^{2+}

Cd^{2+} :



AMONIAKÁLNÍ DĚLENÍ \Rightarrow V \ominus Ag^+ , Cu^{2+} , Cd^{2+}

REDUKCE Ag^+ , Cu^{2+} POMOCÍ Fe

Bi³⁺: 1) STHIKOČOVINOU ⇒ $[Bi(S=C(NH_2)_2)_3]^{3+}$ ŽLUTÝ ROZŘ. KOMPLEX (DHK1)
 RUŠÍ Sb³⁺, OXIDACE NA Sb^V POMOCÍ KMnO₄
 Sb^V SE MASKUJE F⁻

2) REDUKCE CÍNATANEM $3Sn^{II} + 2Bi^{3+} \rightarrow 2Bi^0 + 3Sn^{IV}$
 $Sn(OH)_3^-$ ČERNÝ KOV

RUŠÍ: Ag^+, Hg_2^{2+}, Hg^{2+}
 2M-HCl CH₃COONa SRÁŽÍ Bi³⁺
 $Bi^{3+} + H_2O + Cl^- \rightarrow BiOCl + 2H^+$

Sb³⁺: 1) REDUKCE Fe V KYS. PROSTŘEDÍ
 Sb³⁺ SE HYDROLYTICKY ODDĚLÍ POMOCÍ NaAc
 ČERNÝ PRAŠEK + H₂

2) BARVNÝ IONTOVÝ ASOCIÁT $\{SbCl_6^-, B^+\}$
B⁺ - KRISTALOVÁ VIOLET ↓
 PO OXIDACI KMnO₄ EXTRAKCE DO BENZENU

Sn^{II}, Sn^{IV}: LUMINISČENČNÍ REAKCE - MODRÁ EMISE SnCl
 RUŠÍ: Cu²⁺ - BARVÍ PLAMEN (PROTO SE
 REDUKUJE PRAŠKOVÝM Fe)

SKUPINA HYDROXIDŮ A ZBÝVAJÍCÍCH SOLFIDŮ

~ NH₄HS

Al³⁺, Cr³⁺, Fe³⁺, Fe²⁺, Mn²⁺, Zn²⁺, Co²⁺

Na²⁺ SRÁŽENÍ S NH₄HS V AMONIAK. PROSTŘEDÍ
PO ODDĚLENÍ PŘEDCHOZÍCH SKUPIN

Al³⁺, Cr³⁺ NETVOŘÍ SULFIDY

V NH₃ HYDROXIDY AL(OH)₃ BÍLÝ } AMFO.
 ANFO. Cr(OH)₃ ZELENÝ } DELENÍ

Fe³⁺, Fe²⁺, Mn²⁺, Zn²⁺, Co²⁺, Ni²⁺ - SULFIDY
 RŮŽOVÝ BÍLÝ

Al³⁺, Zn²⁺, Cr³⁺ : NaOH VYLŮH + H₂O₂ (OXIDACE NA Cr^{VI})

Ni²⁺ : NH₃ VYLŮH ⇒ Ni(NH₃)₄²⁺

Fe²⁺ : STAŽE JEN V KYSELÉM PROSTŘEDÍ, JINAK OXIDACE NA Fe^{III}

1ml 10% NaOH
 + 5 kapek vzorku
 + 1 kapka 3% H₂O₂
 var + odstřed

Al(OH)₄⁻, Zn(OH)₃⁻
 Cr^{VI}, Zn(OH)₄²⁻

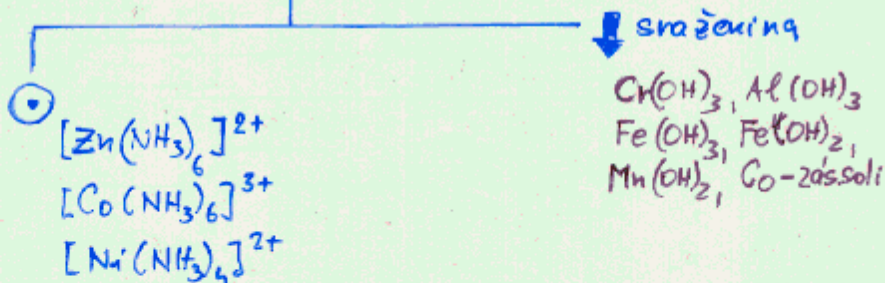
↓ SRAŽENINA
 Fe(OH)₂, Fe(OH)₃
 Mn(OH)₂, Co(OH)₂
 Ni(OH)₂

1kap. H₂O₂
 1M H₂SO₄
 extrakce
 amylalkohol
 nebo cyklohexanon
 modrý extrakt
 CrO₅ (peroxid Cr)
 Cr³⁺

1kap. alizarin
 2M CH₃COOH
 červený roztok
 chelátu
 Al³⁺

20% HCl
 [Fe(CN)₆]³⁻
 žlutozelená
 sraženina
 Zn²⁺

1 ml 2 M-NH₃
1 kapka vzorku
odstředění



+ diacetyl diroxim
červená sraženina Ni²⁺

Al³⁺: 1) s ALIZARINEM S (1,2-DIHYDROXYANTRACHINON-3-SULFONAN

ČERVENÝ LAK - CHELÁT AL L

POVRCHOVĚ ADSORBOVÁN NA Al(OH)₃ V NH₃ prost.

ROŠÍ: Fe³⁺, Cu²⁺ - ODOĚLENÍ NaOH

2) s KVERCETINEM - CHELÁT - ZELENÁ

FLUORESCENCE pH 1-4

ROŠÍ: Zn²⁺ a Sb^{III} - NEPATRNÁ FLUORESCENCE

MASKOVÁNÍ: F⁻

Cr³⁺: s PEROXIDEM H₂O₂ (NaOH) → CrO₄²⁻

NESTÁLÝ MODRÝ PEROXID Cr^{VI}O₅

ROŠÍ: Mn²⁺ - ALKALICKÉ DĚLENÍ

Fe^{3+}

1) S THIOKYANATANEM $(SCN)^-$ KYSELÉ PROSTŘEDÍ
ČERVENÉ KOMPLEXY $FeNCS^{2+}$ $Fe(NCS)_2^+$
RUŠÍ F^-

2) S KYANDĚLEZNATANEM DRASELNÝM KYSL. PROSTŘ.
SRAŽENINA, KOLOIDNÍ O BERLÍNSKÉ HOŘE
 $K_3[Fe[Fe(CN)_6]]$ a $Fe_3[Fe[Fe(CN)_6]_3]$
RUŠÍ: Ca^{2+} UPŘEBYTKU

3) S KYSELINOU SULFOSALICYLOVOU KYSL. PROSTŘ.
FIALOVÝ ROZPUSTNÝ CHELÁT
RUŠÍ F^- , $H_2PO_4^-$

Fe^{2+}

1) S 1,10-FENANTROLINEM pH 2-9
ČERVENÝ CHELÁT

2) S KYANDĚLEZITANEM DRASELNÝM
BERLÍNSKÁ HOŘE

Mn^{2+}

OXIDACÍ JODISTANEM NA MnO_4^-

Zn^{2+}

S KYANDĚLEZNATANEM $K_2ZnFe(CN)_6$
BÍLÁ SRAŽENINA

Co^{2+}

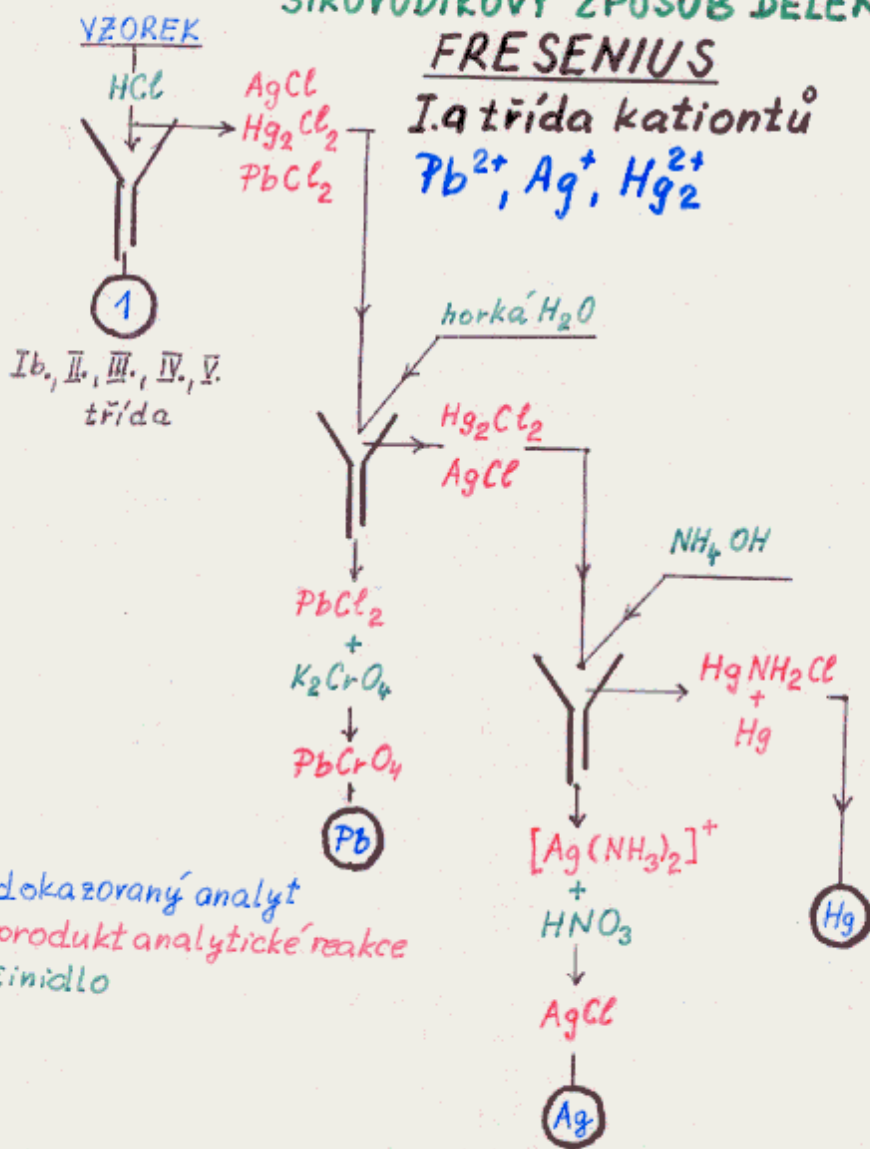
S THIOKYANATANEM $[Co(NCS)_4]^{2-}$
HOŘÍ ROZP. KOMPLEX, EXTRAKCE
RUŠÍ Fe^{3+} , Bi^{3+}

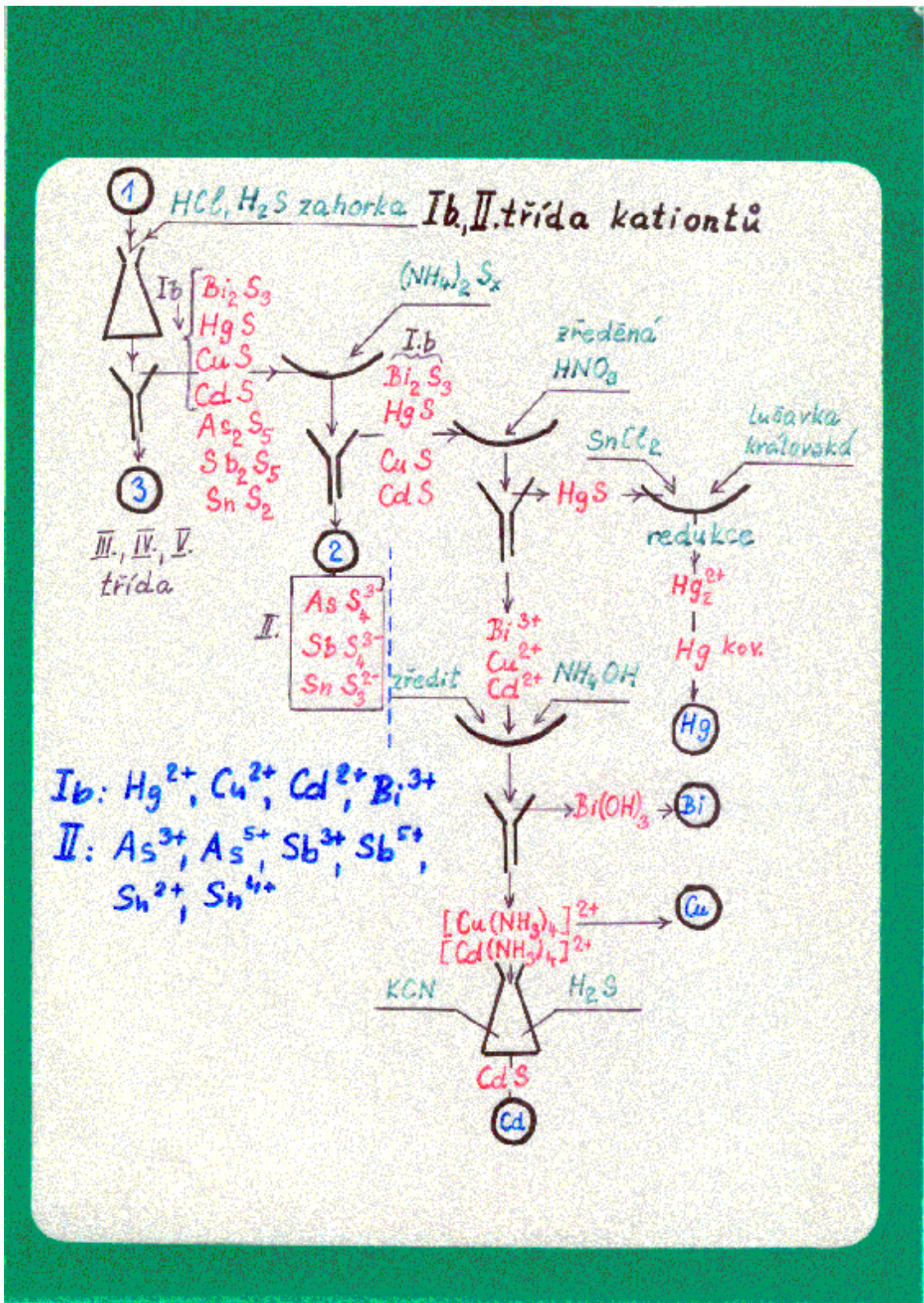
DĚLENÍ KATIONTŮ

SIROVODÍKOVÝ ZPŮSOB DĚLENÍ FRESENIUS

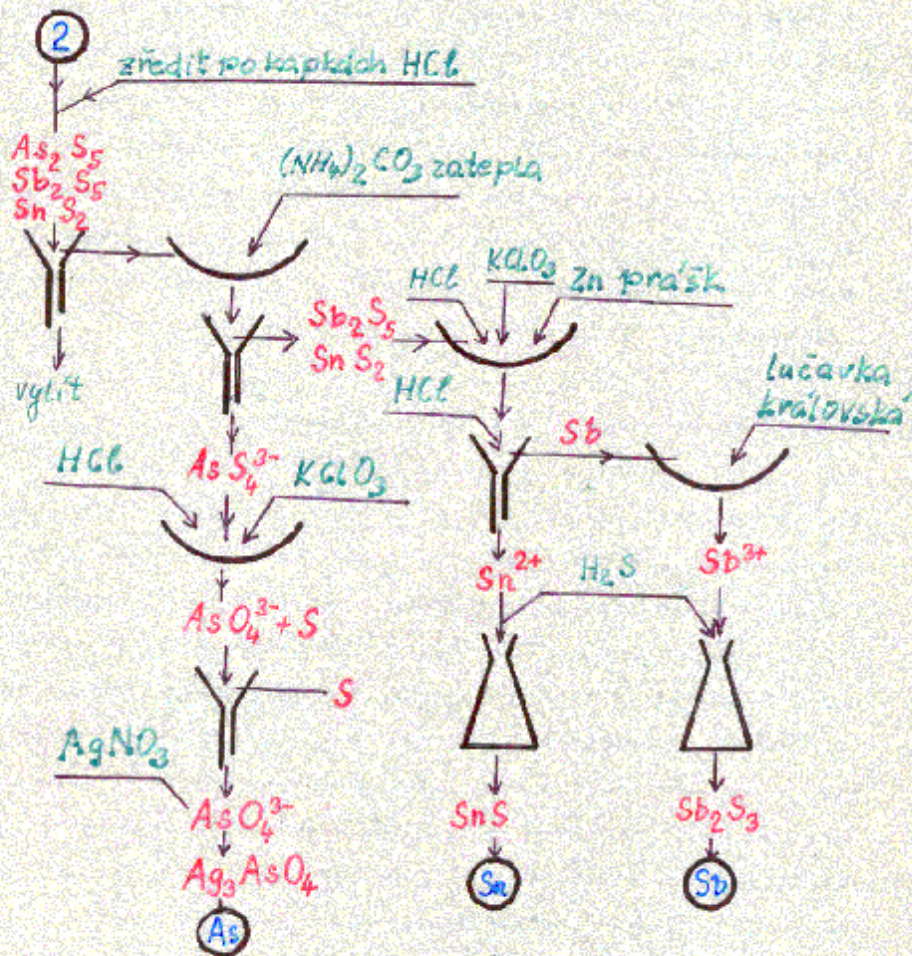
I.a třída kationtů

Pb^{2+} , Ag^+ , Hg_2^{2+}

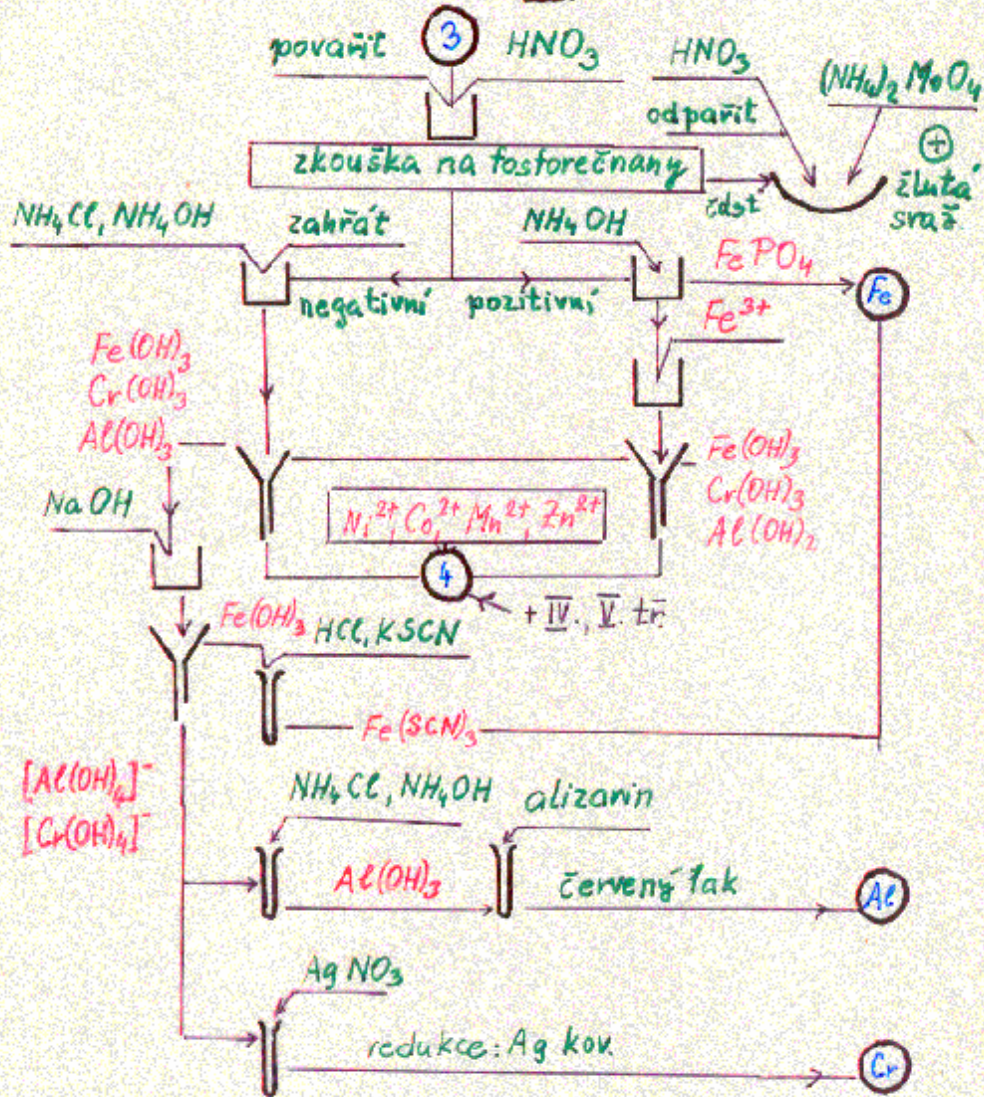




II. třída kationtů

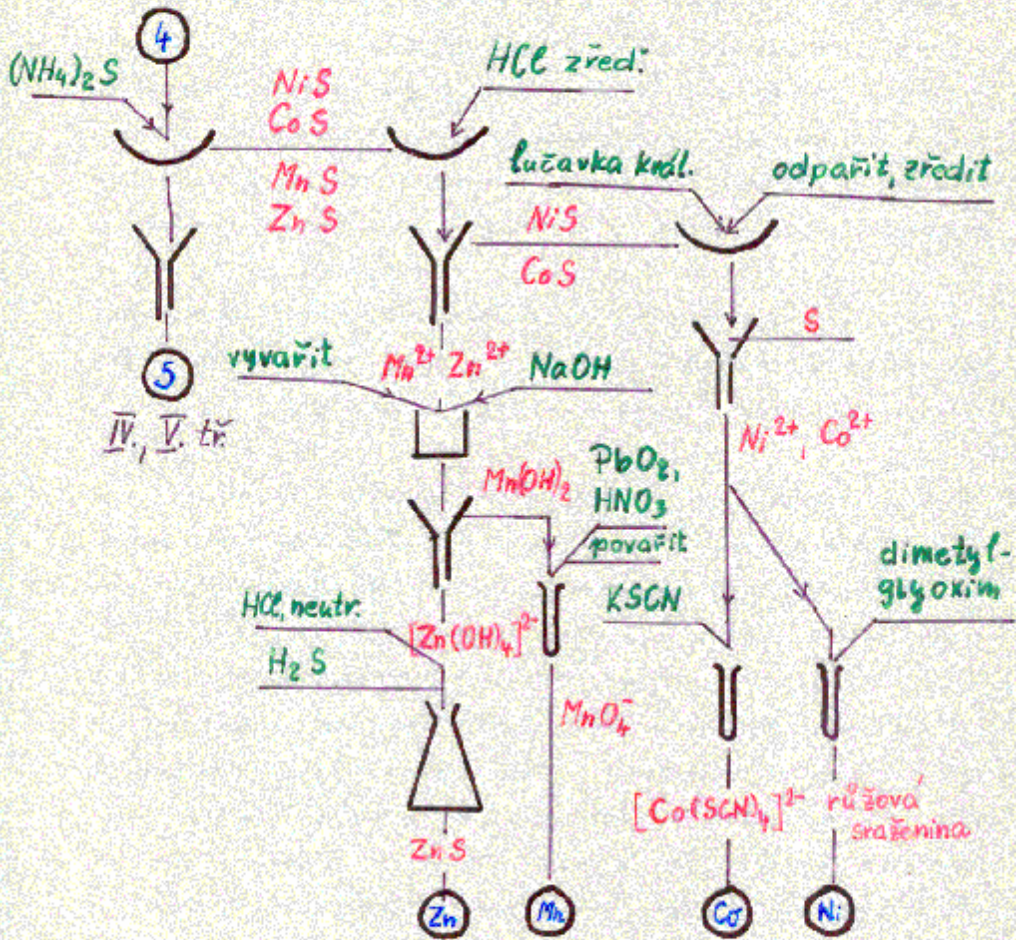


III. třída kationtů

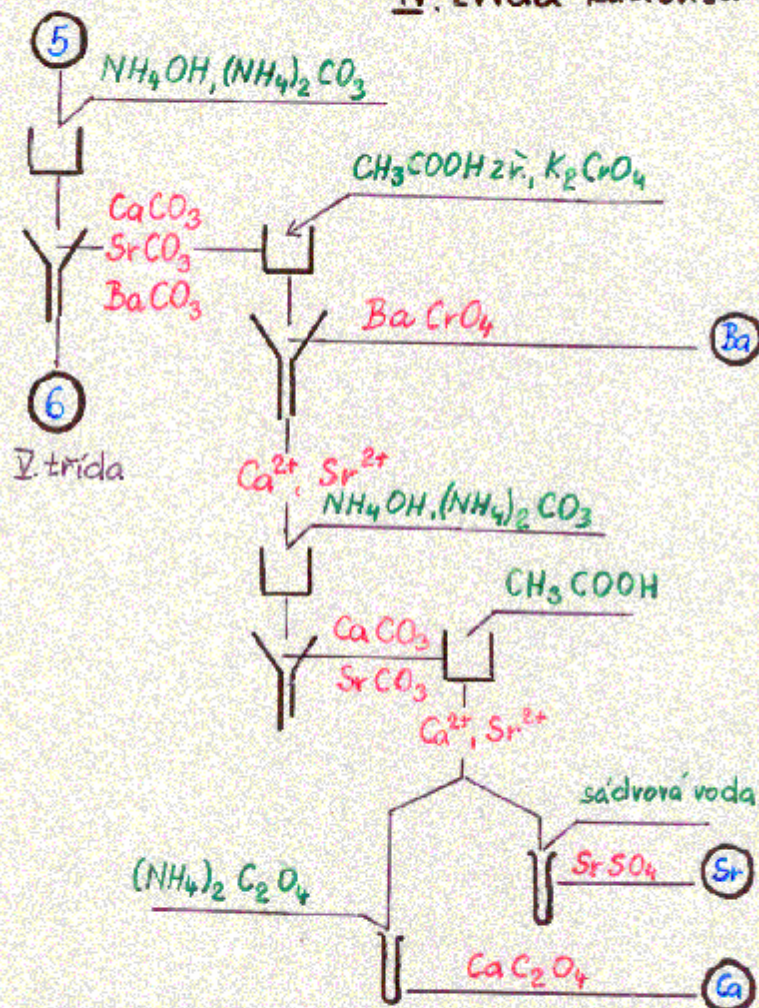


III: Fe²⁺, Fe³⁺, Ni²⁺, Co²⁺, Zn²⁺, Mn²⁺, Al³⁺, Cr³⁺

III. třída kationtů

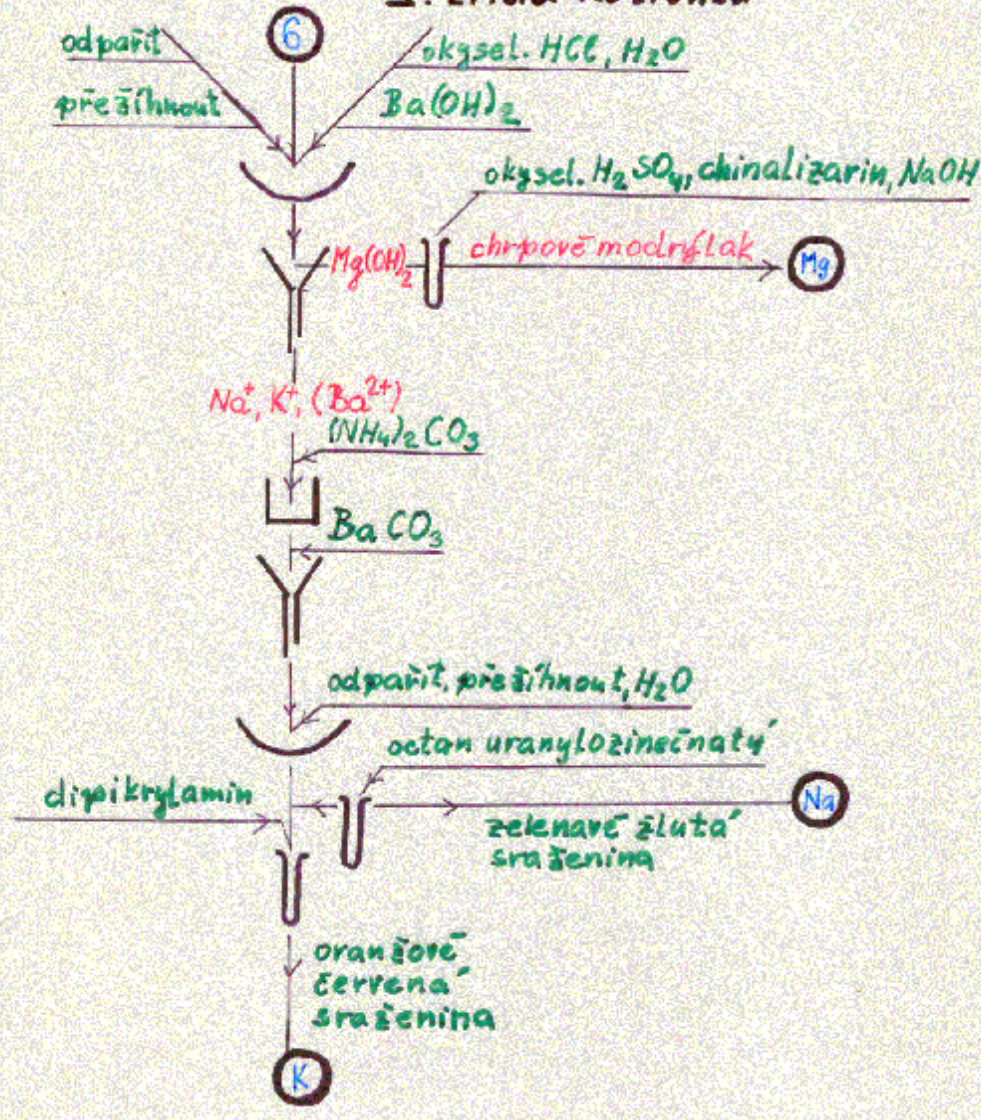


IV. třída kationtů



IV. $\text{Ca}^{2+}, \text{Sr}^{2+}, \text{Ba}^{2+}$

V. třída kationtů



ANALÝZA ANIONTŮ

- Není zde systém postupného dělení \times kationty
- Důkazy jsou dostatečně selektivní

Provedení reakcí:

- Neutrální roztok \times kyselému prostředí \Rightarrow
 CO_3^{2-} , SO_3^{2-} , S^{2-} , HS^- , NO_3^- , NO_2^- únik plynů
- Odstranění těžkých kovů:
 - 1) Varem s 1M Na_2CO_3 \Rightarrow nerozp. uhličitanů
(nežádoucí reakce \Rightarrow změny na aniontech a ztráty):
 - a) oxidace SO_3^{2-} , S^{2-} , NO_2^-
 - b) adsorpce na sraženinu karbonátů: SO_4^{2-} , PO_4^{3-}
 - c) únik těžkých kyselin po neutralizaci HNO_3 :
 NO_2^- , SO_3^{2-} , S^{2-}
 - 2) Pomocí iontoměničů - výměna za Na^+
 - 3) Povařením s MgO
Nelze použít produkty: PO_4^{3-} , AsO_4^{3-} , CO_3^{2-}

SKUPINOVÉ REAKCE ANIONTŮ

- A) SRÁŽECÍ: Ba^{2+} , Ag^+ (rozpust. = f[podmínky])
- B) OXIDAČNĚ - REDUKČNÍ (barevné přechody)
 MnO_4^- , I^- , I_2

I. SRÁŽECÍ REAKCE Ba^{2+}

a) Ba-soli nerozpustné v $2M HCl, 2M HNO_3$
 SO_4^{2-} (silně kyselé prostředí)

b) Ba-soli nerozpustné v $2M CH_3COOH$
 $F^-, CrO_4^{2-}, SO_3^{2-}, S_2O_3^{2-}$ (slabě kyselé p.)

c) Ba-soli nerozpustné v H_2O (neutrální prostředí)
 $PO_4^{3-}, AsO_3^{3-}, AsO_4^{3-}, CO_3^{2-}, BO_2^-$

II. SRÁŽECÍ REAKCE Ag^+

z neutrálního prostředí

a) Ag-soli nerozpustné v $2M HNO_3$
 $Cl^-, Br^-, I^-, SCN^-, CN^-, [Fe(CN)_6]^{4-}$
 $[Fe(CN)_6]^{3-}, S^{2-}$

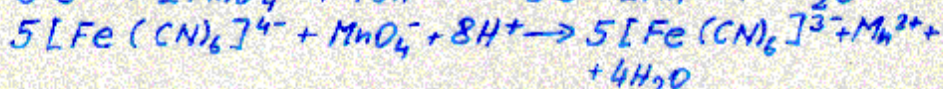
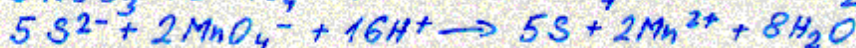
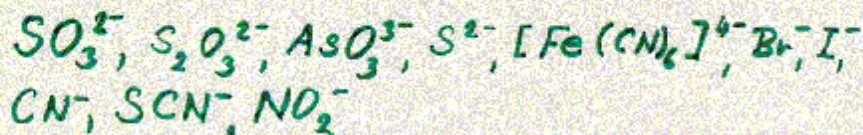
b) Ag-soli stále jen v neutrálním prostředí =>
rozpustné v $2M HNO_3$

$CrO_4^{2-}, SO_3^{2-}, S_2O_3^{2-}, PO_4^{3-}, AsO_3^{3-}, AsO_4^{3-},$
 CO_3^{2-}, BO_2^-

c) Ag-soli nerozpustné v $2M NH_3$
 $Br^-, SCN^-, [Fe(CN)_6]^{4-}, I^-, S^{2-}$

III. OXIDAČNÍ REAKCE MANGANISTANU

Odbarvení MnO_4^- v kys. prostředí ($2MH_2SO_4$)
působením iontů s redukčními vlastnostmi

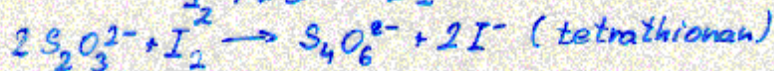
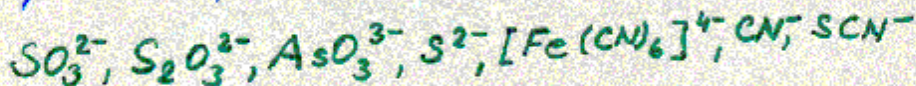


Halogenidy: (X^-)



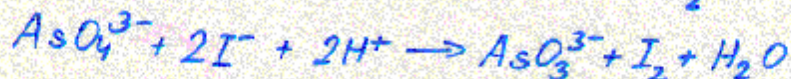
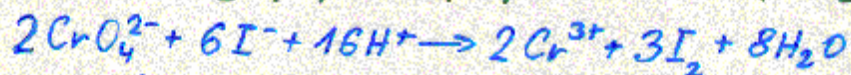
IV. OXIDAČNÍ REAKCE JODU

Odbarvení I_2 v neutrálním nebo slabě-alkalickém (pH 9)
prostředí, vratná reakce NaHCO₃ pevný



II. REDUKČNÍ REAKCE JODIDU

Anionty s oxidačními vlastnostmi oxidují v kyselin prostředí jodid na jod \Rightarrow žluté, červenohnědé zbarvení roztoku modré zbarvení škrobového roztoku.

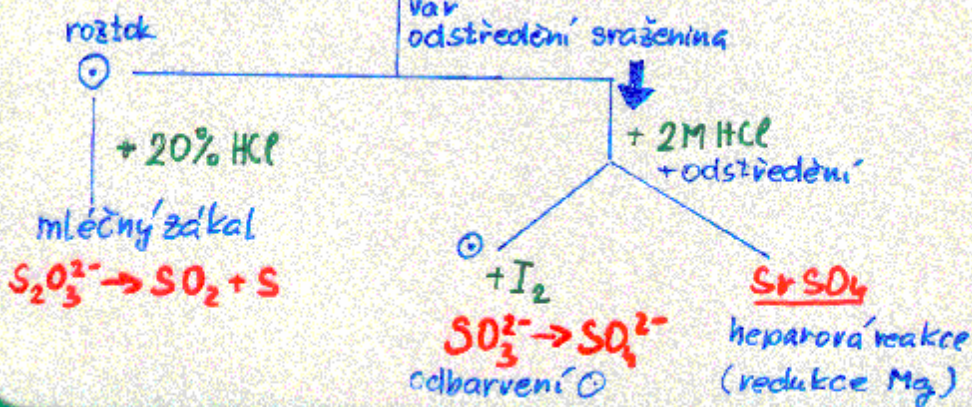


SELEKTIVNÍ REAKCE ANIONTŮ

I. SKUPINA MÁLO ROZPUSTNÝCH BA-SOLÍ

BaSO_4 nerozpust. \times BaS_2O_3 (rozklad \Rightarrow SO_2 , S-zedkol)

Dělení: SrCl_2 1ml vzorku + 0,1M SrCl_2



BaSO₄, SrSO₄ - důkaz SO₄²⁻ heparovou reakcí.

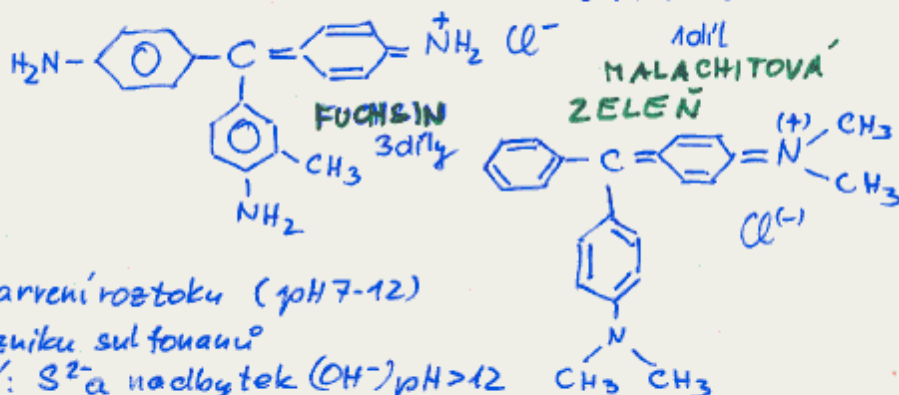
SO₄²⁻: sraženina za žáru s Mg ⇒ redukce

S²⁻ - důkaz: -Pb Ac (octan olovnatý)

- Na₂ Fe (CN)₅ NO - nitroprusid
sodný

[Fe^{II}(CN)₅NO]²⁻ + S²⁻ → [Fe^{II}(CN)₅NOS]⁴⁻ - fialové v alkal. prostředí.

SO₃²⁻: 1) s malachitovou zelení a fuchsinem
činiadlo dle VOTOČKA

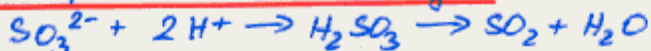


Odbarvení roztoku (pH 7-12)

se vznikem sulfonatu

ROŠÍ: S²⁻ a nadbytek (OH⁻) pH > 12
S²⁻ se odstraní pomocí CdCO₃, ZnCO₃

2) s nitroprusidem zinečnatým - důkaz vplynností:

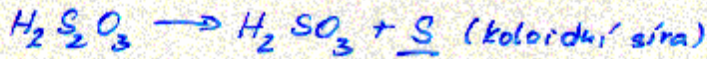


ROŠÍ: S₂O₃²⁻ - H⁺ → SO₂ + S²⁻ sulfitonitroprusid Zn
červený, málo rozpustný

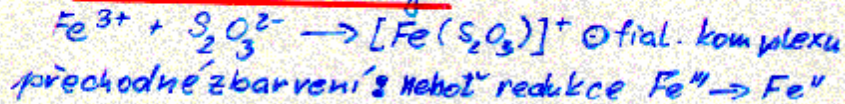
MASKOVÁNÍ: HgCl₂

Provedení: na filtračním papíře napojeném činiadlem -
nad kelímkem v parách. Nezareagovaný nitroprusid
se odbarví v parách amoniaku ⇒ barva jen u produktu

$S_2O_3^{2-}$: 1) v kyselém prostředí rozklad:

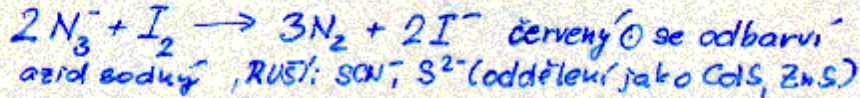


2) s chloridem železitým



RUŠÍ: SCN^- , SO_3^{2-}

3) Jodazidová reakce - katalýza; v přítomnosti S^{2-} (obsažena v $S_2O_3^{2-}$) rychle probíhá:



F^- : se Zr(IV)-okalátem s xylenolovou oranží:
stabilnější komplex Zr s ligandy $F^- \Rightarrow$ chelát
se rozkládá \Rightarrow červeno fialový chelát \rightarrow žluté
uvolněné činidlo. Obecně - využití F^- jako silné komplex.
ligandu

SiO_3^{2-} : s molybdenanem amonným \Rightarrow molybdaťo -
křemičitá kyselina $H_4[Si(Mo_3O_{10})_4]$
vznik v kyselém prostředí - žlutý roztok
vzorek však nejdříve zalkalizovat, aby byl dostatek
monomerní kys. $Si(OH)_4$.
Reduktor $SuCl_2$, $S_2O_3^{2-} \Rightarrow$ molybdenová modř - lze
ji oxidovat HNO_3 na žlutou $H_4[Si(Mo_3O_{10})_4]$
RUŠÍ: AsO_4^{3-} , $PO_4^{3-} \Rightarrow$ molybdaťo fosforečná
molybdaťo arseničná

SKUPINA MÁLO ROZPUSTNÝCH AB-SOLÍ ROZPUSTNÝCH V 2M-HNO₃

Zbarvení solí: charakteristické

Ag₂CrO₄ - červeno hnědý

Ag₃AsO₄ - čokoládově hnědý

Ag₃PO₄, Ag₂AsO₂ - žluté

Ag₂BO₂ - bílý Ag₂CO₃ - nažloutlý



neutrální

alkalické

žlutý ⊙

kyseľý

oranžový ⊙

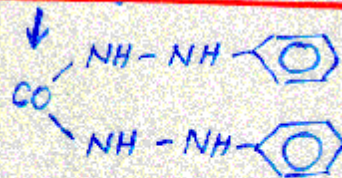


Interference (rušení): AsO₄³⁻ x PO₄³⁻ molybden a nem NH₄⁺
AsO₂⁻ (HNO₃ konc.) ⇒ AsO₄³⁻ rovněž

CrO₄²⁻, Cr₂O₇²⁻: 1) peroxidem vodíku (viz Cu³⁺)
kyseľé prostředí

2) s benzidinem ⇒ semichinon benzidinové modři
Ruí: VO₂⁺, MoO₄²⁻ a oxidační činidla vůbec, kys. prost.

3) s difenylkarbazidem ⇒ červeno fialový chelát s Cr^{III}



kyseľé prostředí
extrakce do amylalkoholu

Ruí: Hg²⁺, Fe³⁺, MoO₄²⁻, VO₄³⁻

4) kyseľinou chromotropovou ⇒ fial. červ. ⊙ v kys. prosti.

PO_4^{3-} : 1) s molybdenanem amonným \Rightarrow žlutá
 $\times \text{SiO}_3^{2-}$ (žlutý roztok) \times sraženina

$(\text{NH}_4)_3[\text{P}(\text{Mo}_3\text{O}_{10})_4] \cdot x\text{H}_2\text{O}$ - tetrakis-trimolybdaťo-
fosforečnan amonný
sražení za horka, kys. prostředí, RUSÍ: AsO_4^{3-}
odstranění AsO_4^{3-} redukcí Zn prachem na AsO_3^{3-} ,
a vysražení H_2S na As_2S_3 $\text{AsO}_4^{3-} + \text{Zn} + 2\text{H}^+ \rightarrow \text{AsO}_3^{3-} + \text{Zn}^{2+} + \text{H}_2\text{O}$

AsO_2^- : 1) redukcí SnCl_2 - společná reakce AsO_4^{3-}
 $2\text{AsO}_2^- + 3\text{SnCl}_4^{2-} + 8\text{HCl} \rightarrow 2\text{As}^0 + 3\text{SnCl}_6^{2-} + 4\text{H}_2\text{O} + 2\text{Cl}^-$
 (AsO_3^{3-}) (BETTENDORFOVA ZKOUŠKA)

2) se sulfanem $\Rightarrow \text{As}_2\text{S}_3$ žlutý, As^{V} nereaguje

AsO_4^{3-} : 1) redukcí SnCl_2 jako As^{V} \Rightarrow hnědočerný elementární As
 $2\text{AsO}_4^{3-} + 5\text{SnCl}_4^{2-} + 16\text{HCl} \rightarrow 2\text{As}^0 + 5\text{SnCl}_6^{2-} + 8\text{H}_2\text{O} + 6\text{Cl}^-$

2) s molybdenanem amonným \Rightarrow žlutá sraženina
 $(\text{NH}_4)_3[\text{As}(\text{Mo}_3\text{O}_{10})_4]$ - v kys. prostředí HNO_3 ,
RUSÍ: PO_4^{3-}

ROZLIŠENÍ AsO_2^- x AsO_4^{3-} AgNO_3

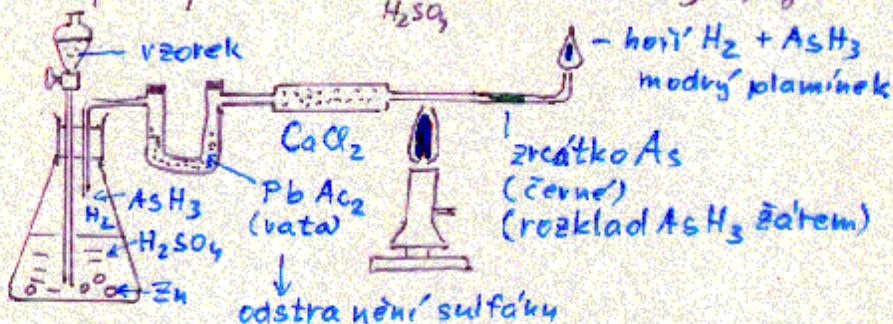
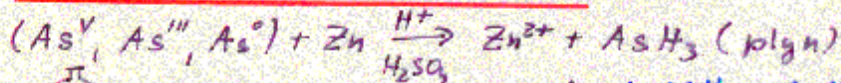
AsO_2^- : žlutá sraž. Ag_3AsO_3 rozp. v HNO_3 a NH_3

AsO_4^{3-} : čokoládově hnědá Ag_3AsO_4 — " —

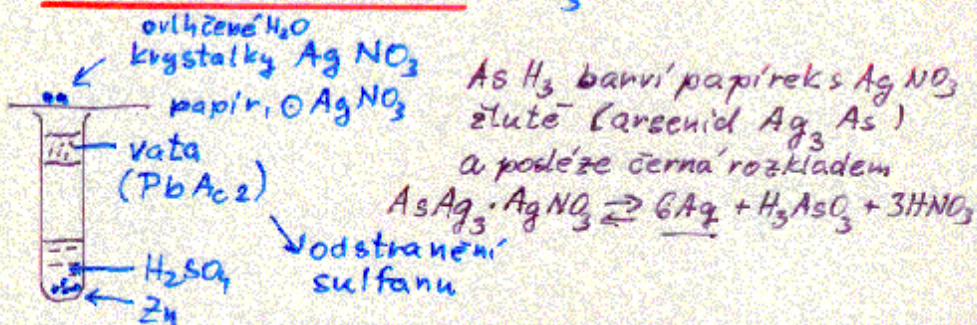
As - toxicita, jedy, kriminalistika

SPOLEČNÉ REAKCE SLOUČENIN ARSENU - REDUKCE
NA ARSENOVODÍK (ARSIN, ARSAN) AsH_3

1) MARSHOVA - LIEBIGOVA ZKOUŠKA - OFICIÁLNÍ DŮKAZ



2) GUTZEITOVA ZKOUŠKA AsH_3



$B(OH)_4^-$: boritanový anion: $B(OH)_3 + H_2O \rightleftharpoons H^+ B(OH)_4^-$
jednosytná kyselina $pK = 10$

1) Plamenová zkouška - zelený plamen

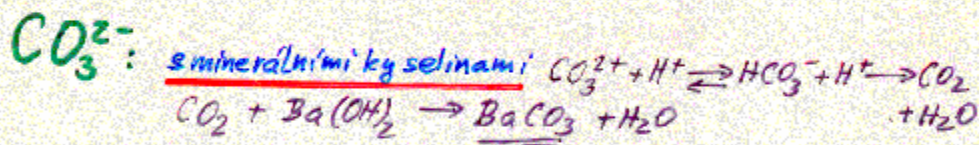
$\lambda = 548,1$ a $519,3$ nm

1a) Plam. zk. těkavých esterů - zelený plamen



ruší Cu^{2+}

3) s kurkuminem (kurkumový papírek)
 červený rozpustný komplex 1:1 ve slabě kys. prostředí.
 (červenohnědé zbarvení papírku, slepý pokus - žlutá)
 Kapka alkal. hydroxidu → temně zelená



Ruši: SO_3^{2-} , $\text{S}_2\text{O}_3^{2-}$, HS^- , $\text{CN}^- \rightarrow$ plyny

Odstranění rušení - rozklad kys. chromsírovou
 (K_2CrO_4 v H_2SO_4) =>

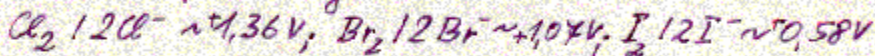
=> oxidace rušících anionů na netěkavé slouč.
 (také KMnO_4)

SKUPINA NEROZPUSTNÝCH Ag - SOLÍ VE 2M- HNO_3

V prostředí 2M- HNO_3 se sraží:

AgCl , AgSCN - bílá s.	Cl^- , Br^- , SCN^- - stálé v H^+ , OH^- , n. I^- v H^+ oxidace => I_2 (žlutá) HS^- , S^{2-} - hydrolyza => H_2S , polysulfidy
AgBr - nažloutlá s.	
AgI - žlutá s.	
Ag_2S - černá s.	

E_0 - standardní potenciály redox. reakcí

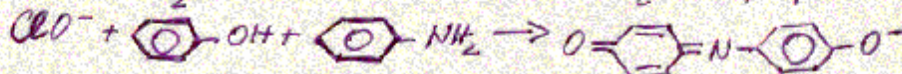


2) s DENIGESOVÝM ČINIDLEM (směs fenolu a anilinu)

v konc. H_2SO_4 se Cl^-

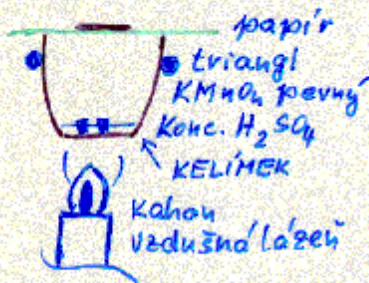


oxiduje $KMnO_4$ na Cl_2

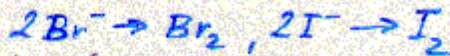


kapka 1M NaOH
+ kapka DENIGESOVA ČINIDLA

INDOFENOL
(MODRÝ V OH^- PROSTR)



také provedení s pipetkou:
nad kolímkem pipetka s kapkou
NaOH - absorbce $Cl_2 \rightarrow ClO^-$
- vyfouknout na kap. desku s
DENIGESOVÝM ČINIDLEM



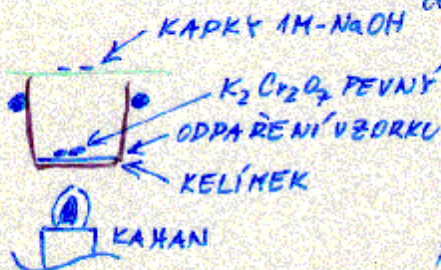
barví suchou část papíru hnědě,
fialově, NEPŘECHÁZÍ NA BrO^- , IO^-

3) tvorba CHROMYLOHLORIDU

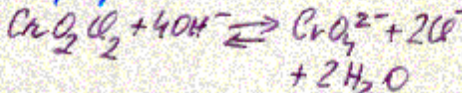
v bezvodém prostř. (konc. H_2SO_4):



červenohnědý, tekavý



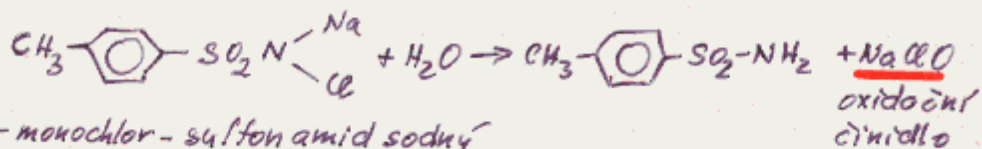
Na papíře reakce s OH^- :



papír se zbarví žlutě
RUŠÍ: NO_2^- , $NO_3^- \Rightarrow NOCl$



Br⁻: oxidací na Br₂ chloraminem T



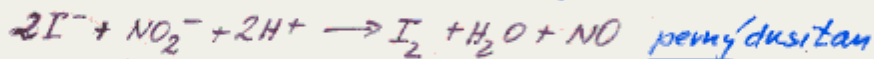
N-monochlor-sulfonamid sodný

Br₂ - žluté, hnědé zbarvení roztoků - extrakce do chloroformu CHCl₃
Ruší: SCN⁻, I⁻ (nadbytek)

V přítomnosti I⁻ nejdišivě oxidace na I₂ (hnědé zbarvení vodné fáze - fialové v CCl₄H), pak I₂ → IO₃⁻ (bežná) a nakonec Br₂.

SCN⁻ → (CN)₂ - DIKYAN - jedovatý

I⁻: oxidací na I₂ dusitanem sodným



Důkaz I₂: a) extrakce do CCl₄ nebo CHCl₃ - fial. ⓪
b) škrobovým roztokem - modrá
c) jodido-škrob. papírek - -||-

Ruší: S₂O₃²⁻

SCN⁻: s chloridem železitým - v kyselém prostředí

Ruší: F⁻, H₂PO₄⁻ (nadbytek) [Fe(NCS)]²⁺ [Fe(NCS)₂]⁺
červené komplexy

HS⁻: 1) s Pb²⁺ ⇒ PbS

S²⁻: 2) s nitroprussidem ⇒ [Fe^{III}(CN)₅NOS]⁴⁻
fialový komplex

SKUPINA ANIONTŮ NO_3^- , NO_2^- , ClO_4^-

NO_3^- , ClO_4^- - v roztocích stálé, oxidační vlastnosti pouze soli v pevném stavu nebo koncentrované kyseliny

NETVOŘÍ: - KOMPLEXY

- SRAŽENINY

NO_3^- ~ analogie Na^+ - rozpustné soli

ClO_4^- ~ velký objem, malý náboj, tvorba iontových asociátů s kationty barviv

NO_2^- - oxidační vlastnosti ($2\text{I}^- \rightarrow \text{I}_2$)
- v redušním O_2 se oxidují na NO_3^-

NO_3^- : 1) s difenylaminem 

modrý oxidační produkt (v konc. H_2SO_4)

RUŠÍ: NO_2^- , CrO_4^{2-} , MnO_4^- , Fe^{3+} , I_2 , IO_3^- (vyluč. I_2)
(oxidační činidla)

2) tvorba azobarviva po reduci Zn na NO_2^-

V prostředí HAc se NO_3^- redukuje prášk. Zn

na NO_2^- - důkaz diazotační a kopulační reakci

za vzniku azobarviva. RUŠÍ: NO_2^- - odstraní se:

a) močovinou v prostředí 1M H_2SO_4 :



b) jodidem draselným v prostředí kys. octové (80% - w)



c) azidem sodným (slabě kys. prostředí)
 $\text{HN}_3 + \text{NO}_2^- + \text{H}^+ \rightarrow \text{N}_2 + \text{N}_2\text{O} + \text{H}_2\text{O}$

d) amonnými solemi (kys. prostředí)
 $\text{NH}_4^+ + \text{NO}_2^- \rightarrow \text{N}_2 + 2\text{H}_2\text{O}$
vedlejší reakce!!: $3\text{HNO}_2 \rightarrow \underline{\text{HNO}_3} + 2\text{NO} + \text{H}_2\text{O}$

3) nitračními reakcemi v kys. prostředí (konc. H_2SO_4)
žluté až oranžové slouč. charakter. zápachu
(nutné slepé zkoušky)



NO_2^- NERUŠÍ - barví pouze H_2SO_4 oranžově

RUŠÍ I^- - odstranit sražením $\text{Pb} \& \text{Ac}_2$

NITRACE dalších sloučenin:

- kyselina fensulfonová, fenol 2,4-disulfonová,
 α -naftol sulfonová, α -naftylamin (červenofialový)
pyrokatechin (zelený), m-fenylenidramin (žl., červený)
kys. chromotropová!

4) Redukční reakce - zinkem nebo DEVARDOVOU slitinou
(Cu-Zn-Al) v alkal. prostředí \Rightarrow NH_3
RUŠÍ NO_2^- , CN^- .

PŘÍMÝ DŮKAZ - nitrační reakce po odstranění
halogenidů síranem stříbrným

Postup při redoxních reakcích:

- pozitivní reakce s difenylaminem (důkaz oxid. vl.)
- redukci Zn v OH⁻ prostředí vzniká NH_3 (důkaz dusíku)


- c) pomocí KI prověřit případnou přítomnost NO_2^- a při pozitivní reakci je odstranit.
 d) redukcí Zn v HAc převést NO_3^- na HNO_2 a NO_2^- dokázat tvorbou azobarviva.



1) s KI - oxidace I^- na jód.



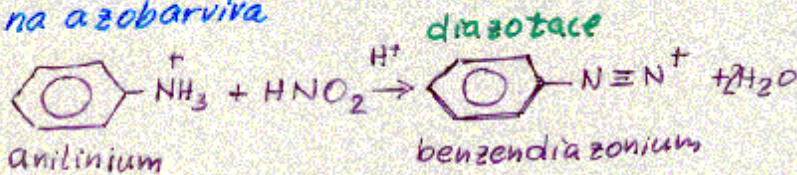
Je to důkaz NO_2^- vedle NO_3^- . Probíhá okamžitě na rozdíl od $\text{Cr}_2\text{O}_7^{2-}$ nebo ClO_3^- .

2) s difenylaminem  oxidace nad. modr.
RUŠÍ: NO_3^- , $\text{Cr}_2\text{O}_7^{2-}$ a j.

3) s KMnO_4 - redukce na Mn^{2+}

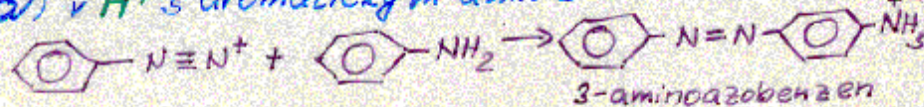


4) Diazotačními reakcemi HNO_2 , s spojenými s kopulacemi na azobarviva



kopulace

a) v H^+ s aromatickým aminem



GRAVIMETRIE

základní metoda, klasická

Určovaná složka se převádí z daného množství vzorku v definované chemické individuum, jehož návážka je mírou obsahu složky

Analytické váhy: - citlivost
- správnost

rovnoram. dvojsp. páčka + kyvadlo

1) správnost - stejná délka vahadel (Gaussova metoda dvojitě vážení) $m_x = \sqrt{z_1 \cdot z_2} = \frac{z_1 + z_2}{2}$

- vztlaková síla (redukce vážení na vakuoprázdno)

$$m_x = z \left[1 + G \left(\frac{1}{s_x} - \frac{1}{s_z} \right) \right]$$

m_x - skutečná hmotnost

z - hm. závaží

s_x, s_z - hustoty m_x a z

G - hustota vzduchu

$$G = 0,0012 \text{ g} \cdot \text{cm}^{-3}; s_z = 8,4 \text{ g} \cdot \text{cm}^{-3} \text{ (mosaz)} \Rightarrow \text{pro } z = 1$$

$$k = 1,2 \left(\frac{1}{s_x} - \frac{1}{8} \right) [\text{mg}]$$

$$0,5 \text{ g látky v retlak } 0,08 \text{ mg}$$

- další vlivy: - vzdušná vlhkost: adsorpce H_2O , časový faktor

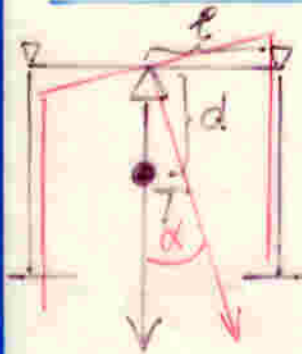
- otisky prstů: pinzeta, kleště

- hygroskopické látky: zabroušené váženky

- elektrický náboj: praškovité nevodivé látky
suché sklo

- závaží (relativní kalibrace - standardy)

- postup při vážení: aretace, otevření vah.....
nepřetřít !!



2) citlivost $c = \frac{\Delta m}{\Delta z}$ $c = \frac{l}{G \cdot d}$

l - délka vahadla

G - tíha - " -

d - vzdál. těžiště od osy ot.

-2-
Analyt. váhy: (netlumene')

tlumene' $\left\{ \begin{array}{l} \text{poloautomatické} \\ \text{automatické} \end{array} \right.$

Výrobci: SARTORIUS, METTLER, PRECISA
elektronické váhy digitální

SRÁŽENÍ

- klasická separační gravimetrická metoda
- preparace čistých sloučenin
nerozpustnost sraženiny \times ztráta ($< 0,1 \text{ mg}$)
rozpustnost sraženiny \sim koncentrace nasyc. \odot nad sraženinou
málo rozpust. soli v silné elektrolyty \sim dokonalá disociace



$$K = \frac{a_M^m \cdot a_B^n}{a_{M_m B_n}}$$

$a_{M_m B_n}$ \leftarrow jednotková aktivita tuhé fáze zahrnuta do konstanty

$\Rightarrow (K_s)_T = a_M^m \cdot a_B^n =$ součin rozpustnosti (termodynam. hodnota)

$$a_M = [M] \cdot \gamma_M ; a_B = [B] \cdot \gamma_B \Rightarrow (K_s)_T = K_s \cdot \gamma_{\pm}^{m+n}$$

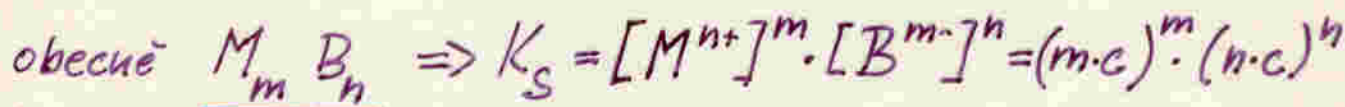
$$\underline{K_s = [M^{n+}]^m \cdot [B^{m-}]^n}$$

Výpočet rozpustnosti čistých látek

$$C_M < 10^{-3} \text{ mol} \cdot \text{L}^{-1} \Rightarrow \gamma_{\pm}^{m+n} \rightarrow 1 \Rightarrow a \rightarrow c$$

1) uni-univalentní elektrolyt: $C_{MB} = [M] = [B] = c \Rightarrow$
 $K_s = [M][B] = c^2 \Rightarrow c = \underline{\underline{\sqrt{K_s}}}$

platí v dest. H₂O za nepřítomnosti dalších iontů⁻³⁻



$$\Rightarrow c = \sqrt[m+n]{\frac{K_s}{m^m \cdot n^n}}$$

Příklad: Kolik gramů AgCl obsahuje 1l nasyc. o-u AgCl

$$M(\text{AgCl}) = 143,32 \text{ g} \cdot \text{mol}^{-1}$$

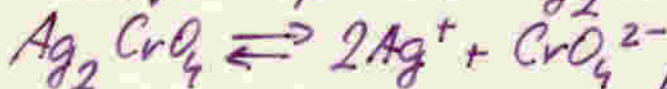


$$K_s = [\text{Ag}^+][\text{Cl}^-] = 1,78 \cdot 10^{-10} \Rightarrow c = \sqrt{K_s} = \sqrt{1,78 \cdot 10^{-10}} =$$

$$= 1,33 \cdot 10^{-5} \text{ mol} \cdot \text{l}^{-1} \Rightarrow \text{hmotnostní konc.} = 1,33 \cdot 10^{-5} \cdot 143,32 =$$

$$= 1,91 \cdot 10^{-3} \text{ AgCl g} \cdot \text{l}^{-1}$$

Příklad: Jaka' je rozpustnost Ag₂CrO₄ v H₂O?



$$K_s = [\text{Ag}^+]^2 \cdot [\text{CrO}_4^{2-}] = 1,12 \cdot 10^{-12}$$

$$c = \sqrt[3]{K_s / 4} \Rightarrow c(\text{Ag}_2\text{CrO}_4) = \sqrt[3]{1,12 \cdot 10^{-12} / 4} = 6,6 \cdot 10^{-5} \text{ mol} \cdot \text{l}^{-1}$$

$$[\text{Ag}^+] = 2 \cdot c(\text{Ag}_2\text{CrO}_4) = 1,32 \cdot 10^{-4} \text{ mol} \cdot \text{l}^{-1}$$

Faktory ovlivňující rozpustnost

- vliv vlastních iontů
 - vliv pH
 - vliv tvorby komplexů
 - vliv teploty
 - vliv rozpouštědla
 - vliv velikosti částic
- } tzv. vedlejší reakce
- vliv iontové síly

① Vliv vlastních iontů - přebytek sraženiny

$M^+ B^-$ nadbytek sraženiny M^+ : $[B] = K_s / [M]$ $c_{MB} = [B]$

2) nadbytek sraženiny B^- : $[M] = K_s / [B]$ $c_{MB} = [M]$

obecně $M_m B_n \Rightarrow c(M_m B_n) = [B] / n$, $c(M_m B_n) = [M] / m$

Prříklad: $K_s (AgCl) = [Ag^+][Cl^-] = 10^{-10}$

při sražení Ag^+ nadbytkem $NaCl$: $[Cl^-] = 10^{-4} \text{ mol.l}^{-1} \Rightarrow [Ag^+] = 10^{-6} \text{ mol.l}^{-1} \Rightarrow$ i promývání sraženiny ne vodou, ale zřed: \odot sraženina,

X velký nadbytek \Rightarrow tvorba komplexů \Rightarrow rozpuštění
 $[Cl^-] > 10^{-3} \text{ mol.l}^{-1} \Rightarrow AgCl + Cl^- \rightleftharpoons [AgCl_2]^-$

Prříklad: Vypočítejte koncentraci SO_4^{2-} nutnou k dokonalému vysražení $BaSO_4$ ($M(BaSO_4) = 233,43$; $K_s = 1,08 \cdot 10^{-10}$)

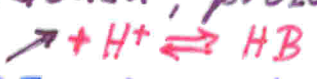
podmínka: $m(BaSO_4) \text{ v } \odot < 10^{-4} \text{ g}$; $V = 300 \text{ cm}^3$

$c(BaSO_4) = [Ba^{2+}] = \frac{10^{-4}}{233,43} \cdot \frac{1000}{300} = \underline{\underline{1,43 \cdot 10^{-6} \text{ M}}}$

$[SO_4^{2-}] = K_s / [Ba^{2+}] = 1,08 \cdot 10^{-10} / 1,43 \cdot 10^{-6} = 7,55 \cdot 10^{-5} \approx 10^{-4}$
 $= 10^{-4} \text{ M } \odot SO_4^{2-}$

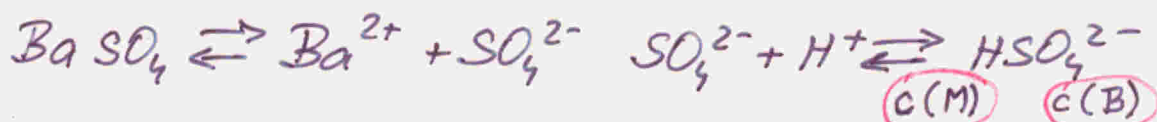
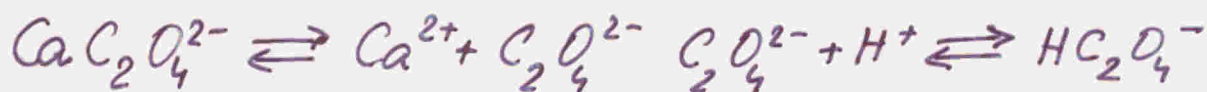
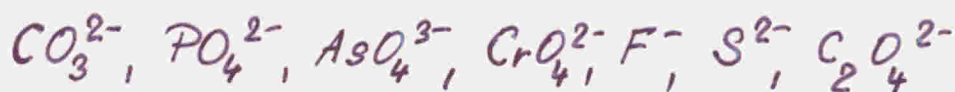
② Vliv pH a tvorby komplexů

vedlejší rovnováhy \rightarrow rozpustné komplexy (hydroxokomplexy kationtů, protonizace aniontů).



Kyseliny a zásady zvyšují rozpustnost sraženiny

-5-



Podmíneň' součin rozpustnosti $K'_s = [\text{M}']^m \cdot [\text{B}']^n =$

$= [\text{M}]^m \cdot \alpha_{\text{M(L)}}^m \cdot [\text{B}]^n \cdot \alpha_{\text{B(H)}}^n = \underline{K_s \cdot \alpha_{\text{M(L)}}^m \cdot \alpha_{\text{B(H)}}^n}$

α - koeficienty vedlejších reakcí

$\alpha_{\text{M(L)}} = \frac{[\text{M}']}{[\text{M}]} = \frac{1}{[\text{M}]} \{ [\text{M}] + [\text{ML}] + [\text{ML}_2] + \dots \} = 1 + \beta_{\text{ML}} [\text{L}] + \beta_{\text{ML}_2} [\text{L}]^2 + \dots$

$\underline{\alpha \geq 1} \quad \beta_{\text{ML}} = \frac{[\text{ML}]}{[\text{M}][\text{L}]} \quad \beta_{\text{ML}_2} = \frac{[\text{ML}_2]}{[\text{M}][\text{L}]^2}$
 oelkove' konstanty stability

Příklad: dvojsytná' kyselina: $\text{H}_2\text{B} \rightleftharpoons \text{HB}^- + \text{H}^+ \quad K_1 = \frac{[\text{H}^+][\text{HB}^-]}{[\text{H}_2\text{B}]}$
 $\text{HB}^- \rightleftharpoons \text{B}^{2-} + \text{H}^+ \quad K_2 = \frac{[\text{H}^+][\text{B}^{2-}]}{[\text{HB}^-]}$

$\alpha_{\text{B(H)}} = \frac{1}{[\text{B}]} \{ [\text{B}] + [\text{HB}] + [\text{H}_2\text{B}] \} =$
 $= \frac{1}{[\text{B}]} \left\{ [\text{B}] + [\text{B}] \cdot [\text{H}] \cdot \frac{1}{K_2} + [\text{HB}] \cdot [\text{H}] \cdot \frac{1}{K_1} \right\} = \frac{1}{[\text{B}]} \left\{ [\text{B}] + [\text{B}] \cdot [\text{H}] \cdot \frac{1}{K_2} + \right.$
 $\left. + [\text{B}] \cdot [\text{H}]^2 \cdot \frac{1}{K_1 K_2} \right\} = \underline{1 + \frac{[\text{H}]}{K_2} + \frac{[\text{H}]^2}{K_1 K_2}}$

Příklad: Jaká' je rozpustnost CaF_2 v 0,01M-HCl? $K_{\text{HF}} = 6 \cdot 10^{-4}$
 $K_s(\text{CaF}_2) = 4 \cdot 10^{-11}, \quad \text{F}^- + \text{H}^+ \rightleftharpoons \text{HF} \Rightarrow \alpha_{\text{F}^-} = \left\{ 1 + \frac{[\text{H}^+]}{K_{\text{HF}}} \right\}$

$\alpha_{\text{F}} = 1 + (6 \cdot 10^{-4})^{-1} [10^{-2}] \doteq 18; \quad c(\text{CaF}_2) = \sqrt[3]{K'_s/4} = \sqrt[3]{K_s \cdot \alpha_{\text{F}}^2/4}$
 $= \sqrt[3]{K_s/4} \cdot \sqrt[3]{\alpha_{\text{F}}^2} = \sqrt[3]{4 \cdot 10^{-11}/4} \cdot \sqrt[3]{18^2} = 2,16 \cdot 10^{-4} \cdot 312^{1/3} = 2,15 \cdot 10^{-4} \cdot 6,78 = 0,0015 \text{ M}$

Příklad: Vy počítejte rozpustnost AgI v 0,01M-NH₃.

$$K_s(\text{AgI}) = 1,00 \cdot 10^{-16} \quad \beta_1 = \frac{[\text{Ag}(\text{NH}_3)^+]}{[\text{Ag}^+][\text{NH}_3]} = \underline{10^{3,4}} \quad (\log \beta_1 = 3,4)$$

$$K_s(\text{AgI}) = [\text{Ag}^+][\text{I}^-]$$

$$\beta_2 = \frac{[\text{Ag}(\text{NH}_3)_2^+]}{[\text{Ag}^+][\text{NH}_3]^2} = \underline{10^{7,2}} \quad (\log \beta_2 = 7,2)$$

$$K'_s(\text{AgI}) = K_s(\text{AgI}) \cdot \alpha_{\text{Ag}}$$

$$c'(\text{AgI}) = \sqrt{K'_s} = \sqrt{K_s \cdot \alpha_{\text{Ag}}} = \sqrt{K_s} \cdot \left\{ 1 + \beta_1 [\text{NH}_3] + \beta_2 [\text{NH}_3]^2 \right\}^{\frac{1}{2}}$$

$$= \sqrt{10^{-16}} \cdot \left\{ 1 + 10^{3,4} \cdot 10^{-2} + 10^{7,2} \cdot 10^{-4} \right\}^{\frac{1}{2}} = \underline{4,01 \cdot 10^{-7} \text{ M}}$$

$$c(\text{AgI}) = \sqrt{10^{-16}} = \underline{1 \cdot 10^{-8} \text{ M}} \quad \text{Rozpustnost se zvýší 40x.}$$

Příklad: Vy počítejte molární rozpustnost BaCO₃ při pH=6 a I=0,1 (pK_s=8,09; pK₁=6,15; pK₂=9,99)

$$K_s = [\text{Ba}^{2+}][\text{CO}_3^{2-}], \quad K_1 = \frac{[\text{H}^+][\text{HCO}_3^-]}{[\text{H}_2\text{CO}_3]}, \quad K_2 = \frac{[\text{H}^+][\text{CO}_3^{2-}]}{[\text{HCO}_3^-]}$$

$$\alpha(\text{CO}_3^{2-}) = 1 + [\text{H}^+] \cdot K_2^{-1} + [\text{H}^+]^2 \cdot K_1^{-1} \cdot K_2^{-1} = 1 + 10^{-6} \cdot 10^{9,99} + 10^{-12} \cdot 10^{6,15} \cdot 10^{9,99} = 1 + 10^{3,99} + 10^{4,14} = \underline{10^{4,37}}$$

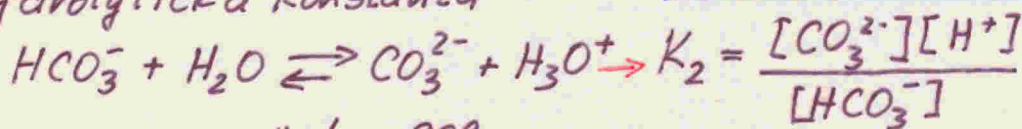
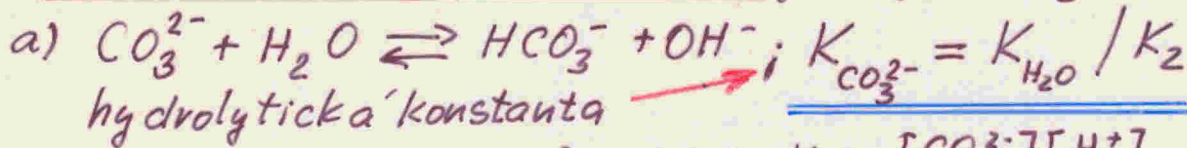
$$K'_s = K_s \cdot \alpha(\text{CO}_3^{2-}) = 10^{-8,09} \cdot 10^{4,37} = \underline{10^{-3,72}}$$

$$c(\text{BaCO}_3) = \sqrt{K'_s} = \underline{1,38 \cdot 10^{-2} \text{ M}}$$

Rozpouštění BaCO₃ v H₂O, pH se ovlivní, postup iterační

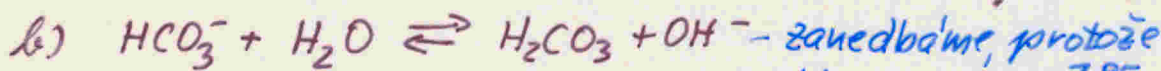
1) Zanedbání hydrolyzy $\Rightarrow c(\text{BaCO}_3) = c(\text{CO}_3^{2-}) = \sqrt{K_s} = \underline{9,03 \cdot 10^{-5} \text{ M}}$

2) Zjistíme hodnotu pH při hydrolyze CO_3^{2-}

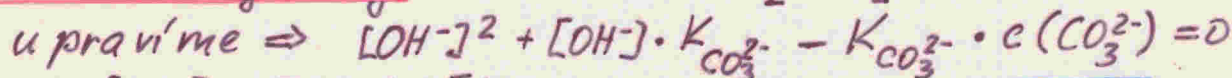
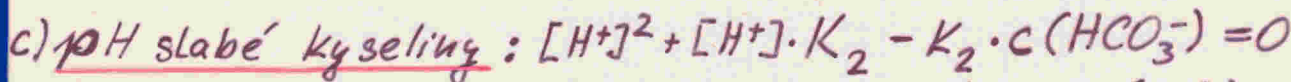


$K_{\text{CO}_3^{2-}} = 10^{-14} / 10^{-9,99} = 10^{-4,01}$

pro výpočet pH



$K_{\text{HCO}_3^-} = 10^{-7,85} \ll K_{\text{CO}_3^{2-}} = 10^{-4,01}$



$\Rightarrow [\text{OH}^-] = 5,82 \cdot 10^{-5} \text{ M} \Rightarrow \text{pH} = 9,76$

3) Zjistíme hodnotu podm. souc. rozp. K'_s a $c(\text{BaCO}_3)$

$\alpha_{\text{CO}_3^{2-}} = 1 + [\text{H}^+] K_2^{-1} + [\text{H}^+]^2 K_1^{-1} K_2^{-1} = 1 + 10^{0,23} + 10^{-3,38} = 2,70 =$

$= 10^{0,43} \Rightarrow K'_s = K_s \cdot \alpha_{\text{CO}_3^{2-}} = 10^{-8,09} \cdot 10^{0,43} = 10^{-7,66}$

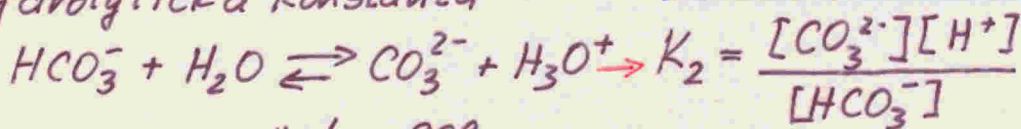
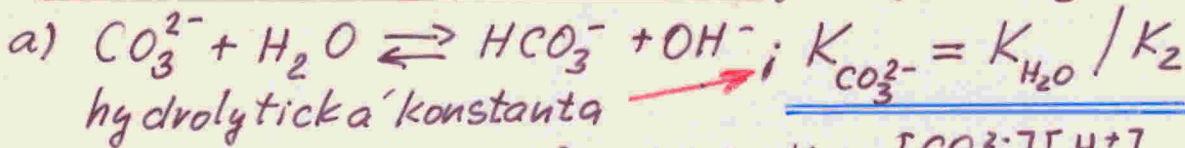
$c(\text{BaCO}_3) = \sqrt{K'_s} = 1,48 \cdot 10^{-4} \text{ M} \times \sqrt{K_s} = 9,03 \cdot 10^{-5} \text{ M}$

4) Opakuje výpočet pH podle 2c) s $c(\text{CO}_3^{2-}) = 1,48 \cdot 10^{-4}$

Dostaneme $\text{pH} = 9,90$, $K'_s = 10^{-7,74}$, $c(\text{BaCO}_3) =$

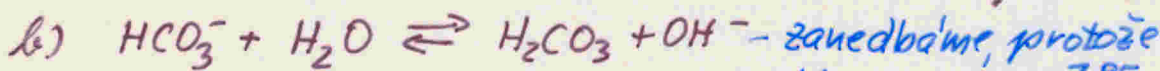
$= 1,35 \cdot 10^{-4} \text{ M}$, další aproximace dává $c(\text{BaCO}_3) = 1,32 \cdot 10^{-4}$

2) Zjistíme hodnotu pH při hydrolyze CO_3^{2-}

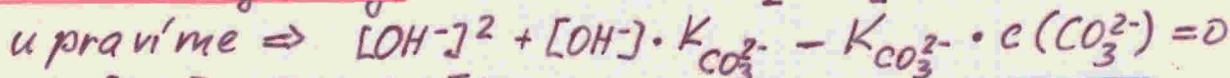
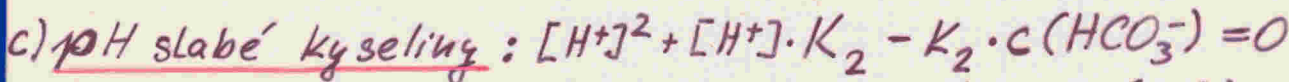


$K_{\text{CO}_3^{2-}} = 10^{-14} / 10^{-9,99} = 10^{-4,01}$

pro výpočet pH



$K_{\text{HCO}_3^-} = 10^{-7,85} \ll K_{\text{CO}_3^{2-}} = 10^{-4,01}$



$\Rightarrow [\text{OH}^-] = 5,82 \cdot 10^{-5} \text{ M} \Rightarrow \text{pH} = 9,76$

3) Zjistíme hodnotu podm. souc. rozp. K'_s a $c(\text{BaCO}_3)$

$\alpha_{\text{CO}_3^{2-}} = 1 + [\text{H}^+] K_2^{-1} + [\text{H}^+]^2 K_1^{-1} K_2^{-1} = 1 + 10^{0,23} + 10^{-3,38} = 2,70 =$

$= 10^{0,43} \Rightarrow K'_s = K_s \cdot \alpha_{\text{CO}_3^{2-}} = 10^{-8,09} \cdot 10^{0,43} = 10^{-7,66}$

$c(\text{BaCO}_3) = \sqrt{K'_s} = 1,48 \cdot 10^{-4} \text{ M} \times \sqrt{K_s} = 9,03 \cdot 10^{-5} \text{ M}$

4) Opakuje výpočet pH podle 2c) s $c(\text{CO}_3^{2-}) = 1,48 \cdot 10^{-4}$

Dostaneme $\text{pH} = 9,90$, $K'_s = 10^{-7,74}$, $c(\text{BaCO}_3) =$

$= 1,35 \cdot 10^{-4} \text{ M}$, další aproximace dává $c(\text{BaCO}_3) = 1,32 \cdot 10^{-4}$

-9-

Závislost rozpustnosti sulfidů na pH - podstata klasického „sirovodíkového“ dělení kationtů.

Sulfid MS: $c(M) = c(MS) = \sqrt[2]{K'_S} = \sqrt{K_S \cdot \alpha(S)}$

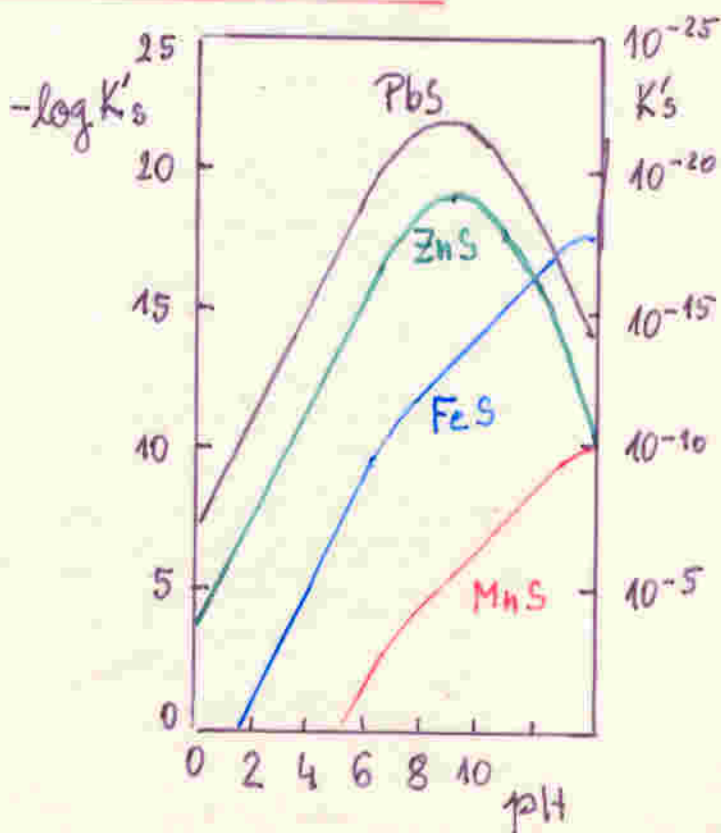
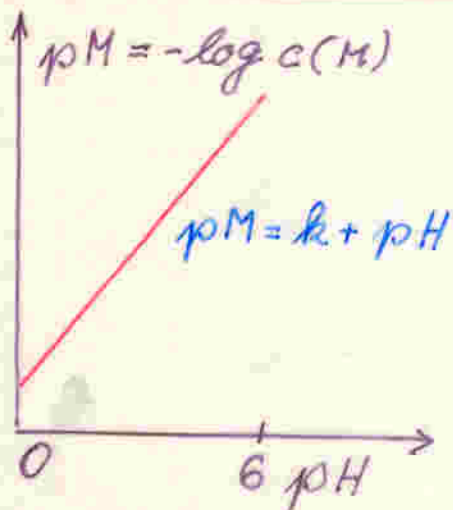
podmínka okrajová: $\text{pH} \leq 6$ - zjednodušení $\Rightarrow \alpha(S)$

zahrnuje jen 1 člen: $\alpha = \frac{1}{1 + (K_1 \cdot K_2)^{-1} \cdot [H^+]^2}$

K_1, K_2 - disoc. konst. H_2S a HS^- , hydrolyzá M se zanedlává

$$c(M) = \sqrt{K_S} \cdot \frac{1}{\sqrt{K_1 \cdot K_2}} \cdot [H^+] \Rightarrow -\log c(M) = -\log \left(\frac{K_S}{K_1 K_2} \right)^{\frac{1}{2}} + \text{pH}$$

$\text{pM} = \frac{1}{2} \text{p}K_S - \frac{1}{2} (\text{p}K_1 + \text{p}K_2) + \text{pH}$



$K'_S = K_S \cdot \alpha_M \cdot \alpha_S$

Vliv tvorby komplexů s vlastními ionty na rozpustnost

M - kation, B - anion, ligand, MB - málo rozpustná slouč.

$$c(M) = c(MB) = [M] + [(MB)_r] + [MB_2] + \dots + [MB_n]$$

rozpusťné komplexy

$(MB)_r$ - rozpustný, nedisociovaný podíl slouč. MB

β_{MB} - konstanta stability = $\frac{[(MB)_r]}{[M][B]} = \frac{[(MB)_r]}{K_s} = \beta_1$

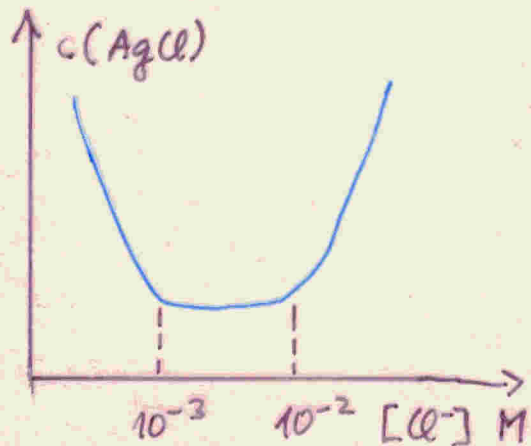
$$K'_s = c(M) \cdot [B] = K_s \cdot \alpha_M = K_s \left\{ 1 + \beta_1[B] + \beta_2[B]^2 + \dots + \beta_n[B]^n \right\}$$

$$c(M) = c(MB) = K_s \left\{ [B]^{-1} + \beta_1 + \beta_2[B] + \dots + \beta_n[B]^{n-1} \right\}$$

↑ Vztah pro výpočet rozpustnosti MB za přítomnosti nadbytku sraženka.

Průklad: AgCl, rozp. komplexy $[AgCl_2]^+$, $[AgCl_3]^+$, $[AgCl_4]^+$
 $K_s, \beta_1 \qquad \qquad \beta_2 \qquad \beta_3 \qquad \beta_4$

$$c(AgCl) = c(Ag) = K_s \left\{ [Cl^-]^{-1} + \beta_1 + \beta_2[Cl^-] + \beta_3[Cl^-]^2 + \beta_4[Cl^-]^3 \right\}$$



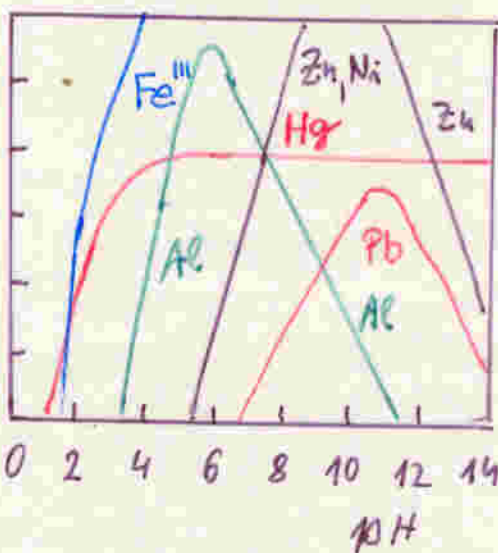
Závislost rozpustnosti hydroxidů na pH

$$c(M(OH)_n) = c(M) = K_s \left\{ [OH^-]^{-n} + \beta_1^{OH} [OH^-]^{-(n-1)} + \dots + \beta_N^{OH} [OH^-]^{-(n-N)} \right\}$$

$\beta_1^{OH} \dots \beta_N^{OH}$ - konstanty stability hydroxokomplexů

např. $\beta_1 = \frac{[M(OH)]}{[M][OH]}$, lze dosadit $[OH^-] = K_v / [H^+] \Rightarrow$

$$\Rightarrow c(M(OH)_n) = c(M) = K_s \left\{ [H^+]^n \cdot \frac{1}{K_v^n} + [H^+]^{n-1} \cdot \frac{\beta_1^{OH}}{K_v^{n-1}} + \dots + [H^+]^{n-2} \cdot \frac{\beta_2^{OH}}{K_v^{n-2}} \dots \right\}$$



Hydroxidy trojmocných kovů jsou méně rozpustné než hydroxidy dvojmocných.

Při pH 4,5 až 6: $Fe(OH)_3 \downarrow$ $Al(OH)_3 \downarrow$ kvantitativně oddělí se od Zn^{2+} , Mn^{2+} , Co^{2+} , Ni^{2+} , Ca^{2+} a Mg^{2+}

③ Vliv iontové síly (div cizích iontů) - indifferentní elektrodyt

1) $\log \gamma_{\pm} = 0,5 z_H \cdot z_B \cdot \sqrt{I'} / (1 + \sqrt{I'})$

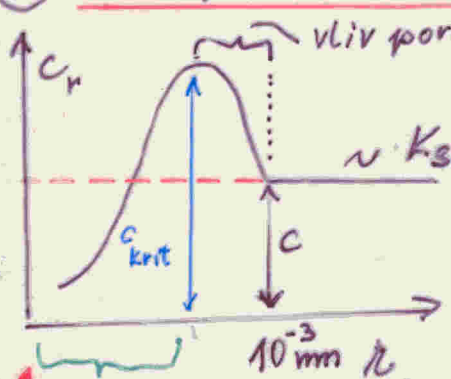
2) $(K_s)_T = [M^{n+}]^m \cdot [B^{m-}]^n \cdot \gamma_M^m \cdot \gamma_B^n = K_s \cdot \gamma_{\pm}^{m+n}$

3) $c = \sqrt[m+n]{\frac{K_s}{m^m \cdot n^n}}$

1) + 2) + 3) $\Rightarrow \log c = \log c_0 + 0,5 z_H z_B \sqrt{I'}_i (c_0 \text{ pro } I \leq 10^{-4})$

Rozpustnost látek se zvětšuje se stoupající koncentrací "cizích" iontů v \odot -u.

④ Vliv velikosti částic sraženi



vliv poroch krystalů
pro $r > 10^{-3}$ mm platí $K_s = [M]^m \cdot [B]^n$
rozp. roste - hrany krystalů -
menší přitažlivé síly
malé krystaly se rozpouštějí - větší rostou
zraň sraženi

koloidní disperze - náboj adsorbovaných iontů snižuje rozpust.

$\ln\left(\frac{c_r}{c}\right) = \frac{a}{r} - \frac{b}{r^2} \parallel \ln \frac{c_2}{c_1} = \frac{2\sigma M}{RT\rho} \left(\frac{1}{r_2} - \frac{1}{r_1}\right)$

⑤ Vliv rozpouštědla

OSTWALD - FREUNDLICH

Organická rozpouštědla snižují rozpustnost anorg. látek.

Příklad: CaSO_4 v 50% EtOH kvantitativně

Lil rozp. v amylalkoholu, KCl a NaCl nikoliv

Vliv roste s nábojem iontů

VLASTNOSTI SRAŽENIN

Závisí na : - chemickém složení
- prostředí
- způsobu sražení

Druhy sraženin : - koloïdní (síra)
- želatinová ($Fe(OH)_3$)
- hrudkovitá ($AgCl$)
- kryštalická : - jemně ($BaSO_4$)
- hrubě ($PbCl_2$)

Kryštalická s. vhodnější : - lépe se filtruje
- čistší než amorní

Požadavky na sraženinu : filtrovatelnost, snadné sušení a zřehnutí na definovaný stav

Mechanismus : 1) vznik přesyce. roztoku (metastabilní stav)
2) tvorba kryštalizačních center (jádra, prim. část.)
3) narůstání částic (stárnutí)

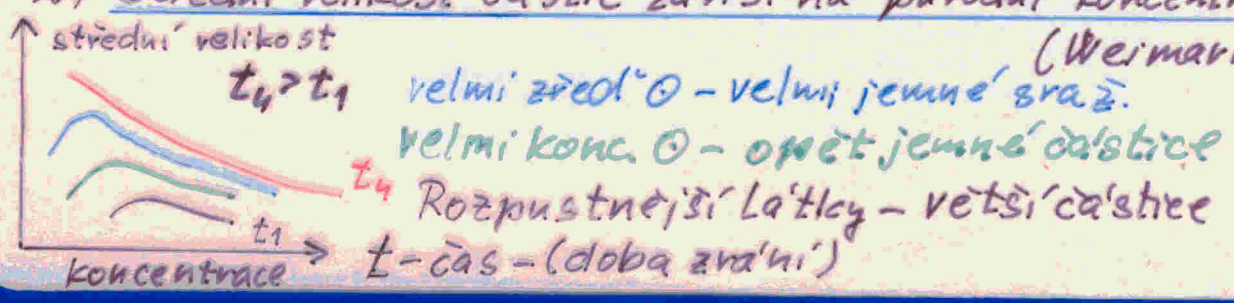
Velké částice rostou na úkor malých

a) Rychlost vylučování sraženiny (Weimaru)

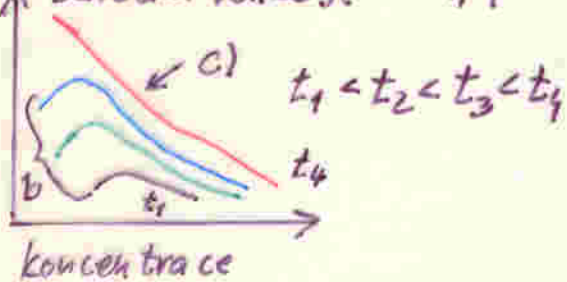
$$v = k \frac{c' - c}{c}$$

c' - okamžitá konc. přesyčeného roztoku
 c - rozpustnost

b) Střední velikost částic závisí na původní koncentraci (Weimaru)



↑ střední velikost - 14-



c) Střední velikost částic

roste s dobou, po kterou byla ponechána sraženina v matečném roztoku.

Stárnutí (zrání) sedimentů malé → velké krystaly

10^{-1}	HRUBÉ DISPERZE (EMULZE, SUSPENZE)	FILTROVATELNÉ PAPIR. FILTREM
10^{-3}		
10^{-5}	KOLOIDNÍ DISPERZE	NEFILTROVATELNÉ PAPIROVÝH FILTREM
10^{-7}	PRAVÉ ROZTOKY	
10^{-9}		

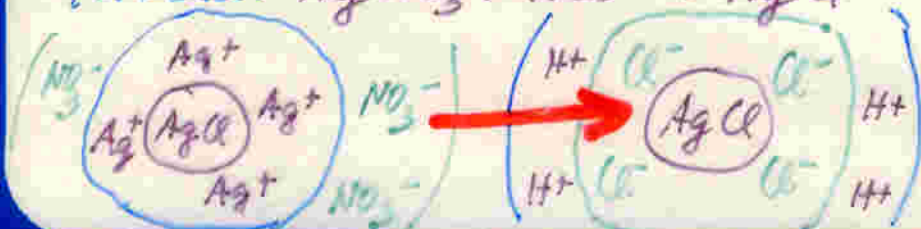
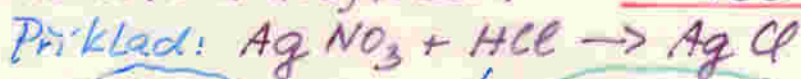
[cm]

- ⊖ nedokonalé → dokonalejší krystaly
- ⊖ meta stabilní modifikace → stabilní (aragonit → kalcit)
- ⊖ změna počtu mol. kryst. H_2O ($CaC_2O_4 \cdot 3H_2O + CaC_2O_4 \cdot 2H_2O \rightarrow CaC_2O_4 \cdot H_2O$)
- ⊖ dehydratace sraženin (hydrat. oxidy Fe, Ti, Sn, Al, Zr, Th)
- ⊖ polymerace (CoS, NiS)

Koloidní vlastnosti sraženin

Koloidní disperze ($10^{-5} - 10^{-7}$ cm): Brownův pohyb
 Tyndallův efekt
 RTG → krystalický charakter
 - velký specifický povrch (S/V)
 - schopnost adsorpce

Existence koloidní disperze: odpudivé elstat. síly
 elektrická dvojvrstva → micely



změna náboje micely v tzv. IZOELEKTRICKÉM BODĚ x bod ekvivalence

Koagulace

Souhlasné náboje micel \times shlukování
nadbytkem elektrolytu se rozruší dvojvrstva \Rightarrow
micely koagulují

Koagul. účinek roste s nábojem ($AlCl_3 \gg NH_4Cl, 1000x$)
 \times přednost amonnyím solím - lze odkouřit

stabilita disperze - poutání mol. $H_2O \Rightarrow$

- Lyofobní koloidy - nestálé ($As_2S_3, S, Au, Ag \times$)

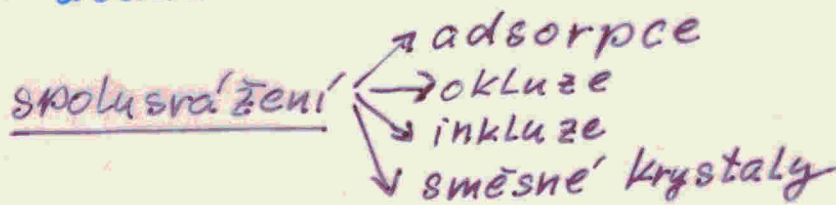
- Lyofilní koloidy - stálé (škrob, želatina, proteiny,
(ochranné koloidy) $Al_2O_3 \cdot xH_2O, SiO_2 \cdot xH_2O$)

Peptizace - opak koagulace

Při filtraci a promývání vodou - odstranění elektrolytu
nežádoucí jev - promýváme proto elektrolytem

znečištění sraženin

- spolusrážení (koprecipitace)
- dodatečné sražení (indukované)



a) adsorpce: závisí na $\left\{ \begin{array}{l} \text{konzentraci adsorb. látek} \\ \text{vlastnostech ads. l.} \\ \text{vlastnostech sraženiny} \end{array} \right.$

Paneth-Fajans:

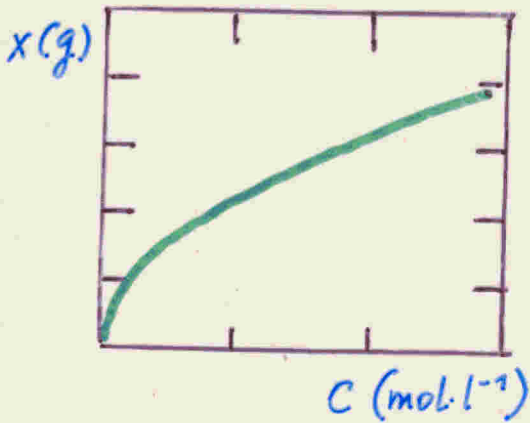
nejvíce se adsorbují ionty vlastní a tvoří málo rozp. láť.

Příklad: $BaSO_4$ v nadbytku Ba^{2+} : $Br^- < Cl^- < ClO_3^- < NO_3^-$
-||- -||- SO_4^{2-} : $Na^+ < K^+ < Ca^{2+} < Pb^{2+}$

snadněji ionty s větším nábojem, polariz. i. org. barviv

FREUNDLICOVA adsorpční izoterma

$x = k \cdot c^{1/n}$ ($T = \text{konst.}$), k, n - konstanty, x - množ. / 1g sraženiny



relativně největší znečištění
je při nejmenších konc. nečistot.
(poslední zbytky nečistot se
odstraňují nejobtížněji)

znečištění sraženiny je úměrné
povrchu \Rightarrow koagulované koloidní
disperze \times hrubě kryst. sraženiny

b) okluze - mechanické strhávání cizích součástí roztoku
při sražení a narůstání krystalů sražen. kolem
nečistoty. \sim koncentraci \odot a \sim rychlosti sražen.

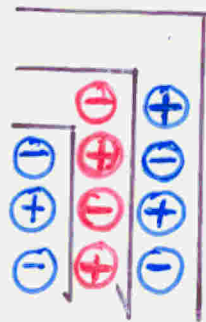
c) inkluze - mechanické uzavření matečného roztoku
při růstu krystalů

d) směsné krystaly - izomorfní zastupování iontů při
 $\Delta r_{\text{iontu}} < 10-15\%$ a stejné kryst. soustavě
tzv. tuhé roztoky. Přednost ionty se stejnými
velikostmi náboje.
 $\text{AgCl} + \text{AgBr}, \text{Ba}(\text{IO}_3)_2 + \text{Pb}(\text{IO}_3)_2$
 $\text{BaSO}_4 + \text{RaSO}_4, \text{BaSO}_4 + \text{KMnO}_4$
 $\text{BaSO}_4 + \text{KBF}_4$ - tzv. mozaika

$D = \frac{(c_1/c_2)_t}{(c_1/c_2)_r}$

D - rozděl. koef, c_1, c_2 - koncentrace izomorfních složek
 t - sraženina, r - roztok, nelze čistit opak. sražen. týmž
D málo závislá na $T(K)$, N sražení, na koncentraci činidlem

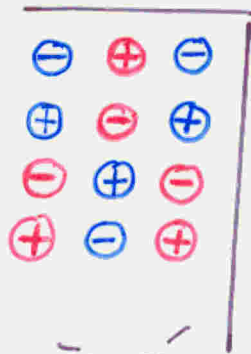
Typy znečištění



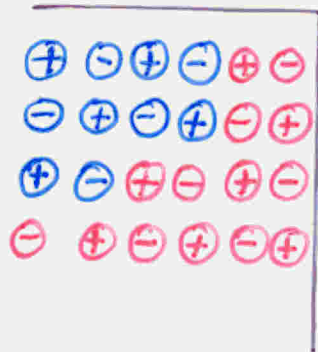
OKLUZE



INKLUZE



SMĚSNÉ
KRÝSTALY



MOZAIKA

Dodatečné sražení (post. precipitace) - indukované

1. původně čistá sraženina: $Ca^{2+} + Ox \rightarrow CaOx$ (Ox -oxalát)
2. po čase z přebyč. $\ominus Mg Ox$ sraží $MgOx$

Je proto nutné dodržovat konc. poměry a CaOx brzy odfiltrovat, dtto sulfidy

klathráty $[Ni(NH_3)_2(CN)_2]$ uvnitř benzen

Amorfni sraženiny - koagulaci koloidu \rightarrow gely

velký specifický povrch \Rightarrow velká sorpce

koagulace přebytkem elektrolytu - již tento znečišťuje

Filtrace - ihned, promývat elektrolytem (peptizace!!)

Snižování koprecipitace - vhodným postupem

Zásady sražení

- 1) Sražení z horkých roztoků - lepší tvorba dokonale kryst. mřížky bez cizích iontů. Před filtrací ochladit v případě rozpustnějších sraženin (např. $MgNH_4PO_4$)
- 2) Sražení z dostatečně zředěných roztoků.
Opakované sražení (2x) (hydroxidy). Snižování koprecipitace kationtů na sraž. A^+B^- sražením aniontem B^- a naopak.
- 3) Sražecí činidlo se přidává zvolna za míchání. ~~X~~ lokální zvýšení koncentrace. Tvorba hrubých sedimentů s malým povrchem
- 4) Nechat stát před filtrací - menší okluz x dodatečné sražení!!!
- 5) Důkladné promytí (horká voda, elektrolyt), kolordy!!
Příliš rozp. látky - alkoholem.

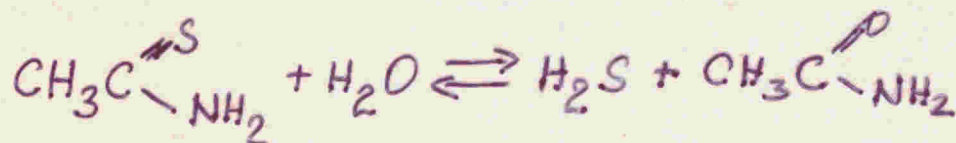
POSTUP SRAŽENÍ

- 1) Roztok látky určené k analýze upravíme dle návodu (pH, teplota) a sražíme čirým sražedlem
- 2) Sražení v kádinkách 250-400 ml, vzorek upraven na cca 100 - 200 ml.
- 3) Sražedlo pomalou z byřety nebo pipety + míchání skleněnou tyčinkou bez gumové stěrky
- 4) Po usažení sraženiny zkouška na úplnost sražení.

Srážení z homogenního prostředí:

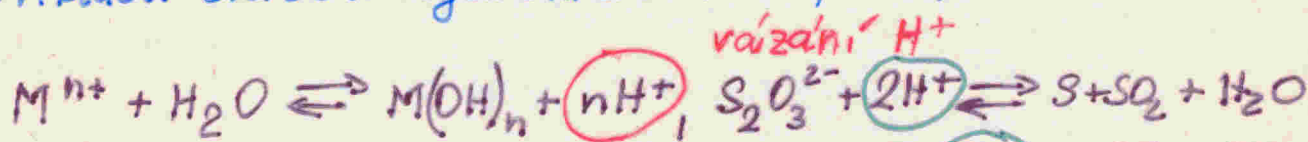
sraž. činidlo vzniká pozvolna a plynule chemickou reakcí
rozklad, hydrolyza

Příklad: srážení sulfidů thioacetamidem (za horka hyd.)

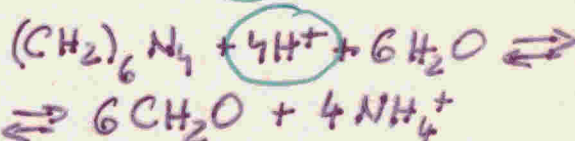


sraž. sulfidů lépe koaguluji a méně adsorbují

Příklad: srážení hydroxidů ($\text{M}^{3+}, \text{M}^{4+}$) odděl. od M^{2+}



vázání H^+



FILTRACE

RYCHLOST FILTRACE
$$N = \frac{dV}{dt} = k \frac{P \cdot r^2 \cdot (p_1 - p_2)}{l \cdot \eta}$$

P - filtrační plocha, r - poloměr porů, $p_1 - p_2$ rozdíl hydrostatických tlaků na obou stranách, l - efektivní délka kapilár, η - dynamická viskozita, V - objem kapaliny, t - čas.

Urychlení filtrace: - zvětšení P, $p_1 - p_2$ (odsávání, delší stopka)
- zmenšení η (zahřátí)

Kromě mechanických vlivů: - hydratační
 - adhezní
 - adsorpční
 - elektrokinetický } efekt

- povaha filtrované látky

Hydratace - bobtnání lyofilní filtrační hmoty =>
zpomalení filtrace (zadržít i menší částice)

Adhese - kapalina v kapilárách proudí pomaleji při stěnách

Adsorpce - částice sraženiny na stěnách kapilár ulpívají

Elektrokinetický efekt - potenciálový rozdíl mezi stěnou kapiláry a kapalinou: =>

⊖ náboj filtr. papíru zadržuje kationty a ⊕ částice sraženiny
 Po promytí HCl papír zadržuje ⊖ částice

Povaha filtrované látky - tvoří další filtrační vrstvu - jiná kapilarita. Gely - ucpávací filtry, proto větší pórovitost a filtrace s odsávacím ($p_1 - p_2$).

Filtrace: - papírové filtry kvantitativní (bez popel.)
 čistá celulóza, 0,01 mg popela
 barevně odlišené: červená páska (amorfni, Fe_2O_3)

> 10% kys. nebo louhu
 rozrušuje filtry pap.
 a nelze filtrovat látky, které
 se redukcují při spalování

žlutá páska (koloidy, sulfidy)
 modrá páska (jemná kryst. sraženina, $BaSO_4$)
 také černá páska

Kelímky filtrační - krystalické sraženiny
 - skleněné - jen sušení (do 200°C)
 - porcelánové - žíhání (do 1200°C)

PROMÝVÁNÍ SRAŽENIN ⁻²¹⁻

odstranění zbytku matečných louků - účinněji:
dekantace - promývání v kabině po sražení

Mensi objemy vícekrát:

$$C_n = C \cdot \left(\frac{V_1}{V_1 + V_2} \right)^n$$

V_1 - objem filtrátu zadržovaného sraženinou

V_2 - promývací objem, C_n - konc. cizího iontu po n promytí.

Sraženina - ionex - vytěsnit cizí ionty adsorpcí elektrolytu promývacího roztoku. Krystalické sraženiny - promývací roztokem soli o společném iontu se sraženinou

Koloidní sraženiny - roztok elektrolytu zabraňuje p
peptizaci. Amonné soli - snadné odstranění žeháčkou.

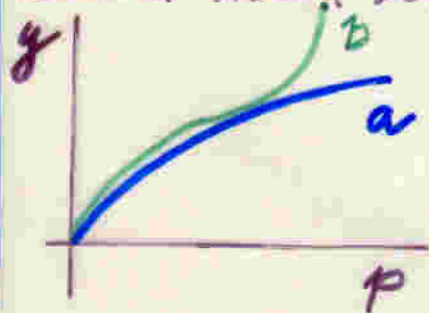
Vodou nakonec, alkohol u rozpustnějších sraženin.

SUŠENÍ

a) na vzduchu

Zbavení přeby tečné vlhkosti až do rovnovážného stavu s tenzí vodních par ve vzduchu při dané teplotě.

Frenudlichova adsorpční izoterma $y = a \cdot x^b$ - monomolekulární vrstva vody.



a) nehygroscopické látky

b) hygroscopické látky (více vrstev vody)

ad b) nelze sušit na vzduchu, =>

- snížení tenze par a zvýš. teplot.
- vakuové sušení

tenze par povrchově vázané vody nižší, proto 105-110°C

b) v exsikatoru - vysoušedla
 / chemicky (P_2O_5)
 \ adsorpční (silik.)

	mg/l H_2O ve vzduchu	
P_2O_5	$2 \cdot 10^{-5}$	
$Mg(ClO_4)_2$	$5 \cdot 10^{-4}$	(anhydron) - pro element. analyzu
BaO	$7 \cdot 10^{-4}$	
KOH	$2 \cdot 10^{-3}$	
Silikagel	$3 \cdot 10^{-2}$	- zachytí až 40% své hmotnosti vodních par, indikace $CoCl_2$ - bezv. modrý vlhký růžový, regener. 180-200°C

molekulové síta - silikáty $Al, Ca, Al, K, Na,$

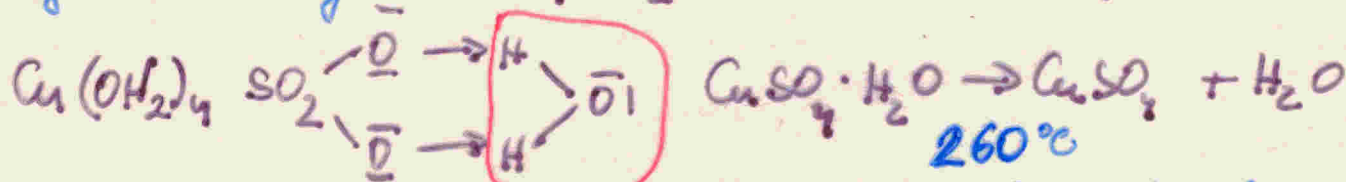
absorpce plynů
 / kyselých (CO_2, SO_2) ~ $CaO, KOH, NaOH$
 \ zásaditých (NH_3) ~ P_2O_5, H_2SO_4

páry alkoholu ~ $CaCl_2$

benzín, chloroform, éter ~ parafin

c) při zvýšené teplotě

sušárny do 180°C, $\pm 5^\circ C$ regulace, 105-110°C, také ztráta
Kryštalové vody: $CuSO_4 \cdot 5H_2O \rightarrow 4H_2O + CuSO_4 \cdot H_2O$



prohánění: NH_3, CO_2, SO_2 , amonné soli při 150°C, těžké chloridy
filtrační papír vydrží 150°C.

Sušení do tzv. konstantní váhy - pokud je vysušena
sraženina přímo formou krájení - opakujeme sušení
a vážení, až se hmotnost nemění (0,2 mg).

ŽÍHÁNÍ

převedení sraženiny do definovaného stavu

porcelán. kelímek + triangl s. keram. válečky
(Pt - kelímek).

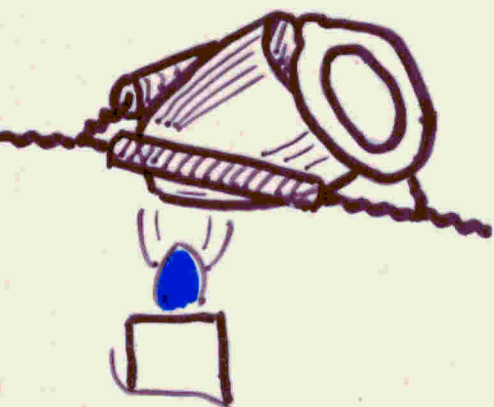
Zásady a postup žíhání:

1) Vy sušení a vy žíhání prázdného kelímku do konstantní hmotnosti: (pozvolna, nesvítilivý plamen), kleště

2) Sbalený filtr do kelímku:

a) vysušit při 70°C v sušárně nebo nad káňkem

b) spálit (uhelnatí, přístup vzduchu nesmí hořet!!)



Teploty:
Bunsen. k.

porcel. 700°
 -800°

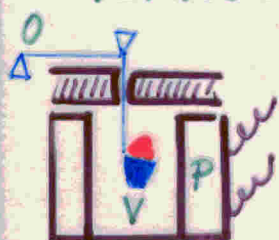
Pt $850-1000^{\circ}$

Tecluhó + 100°C x Buns.

Mecker + 200°C x Buns.

3) Žíhat ($500-1000^{\circ}\text{C}$) - kahan, muflová pec. Po ochlazení na $100-200^{\circ}\text{C}$ → do exsikatoru. Do konstantní hmotnosti ($\pm 0.2\text{ mg}$)

TERMOGRAVIMETRIE (TGA) A DIFERENČNÍ TERMICKÁ ANALÝZA (DTA)



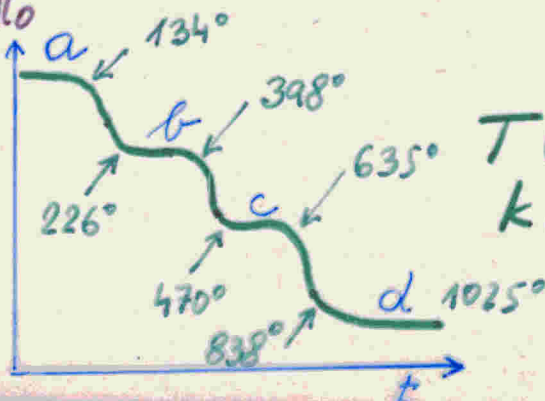
P - pec
O - vahadlo
V - vzorek
m

a - $\text{CaC}_2\text{O}_4 \cdot \text{H}_2\text{O}$

b - CaC_2O_4

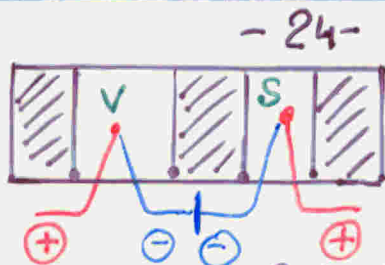
c - CaCO_3

d - CaO

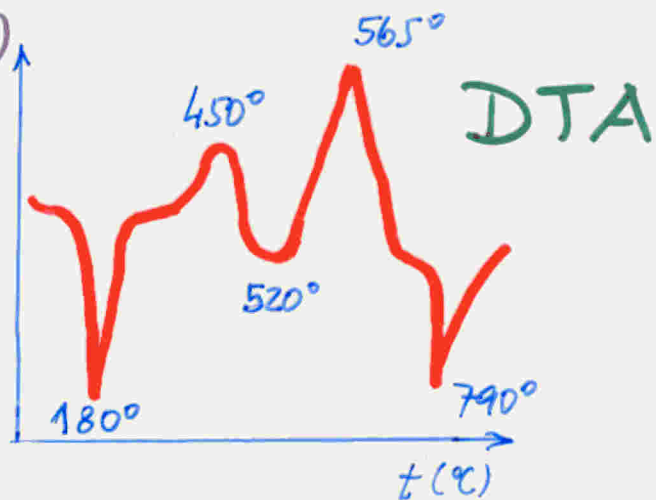
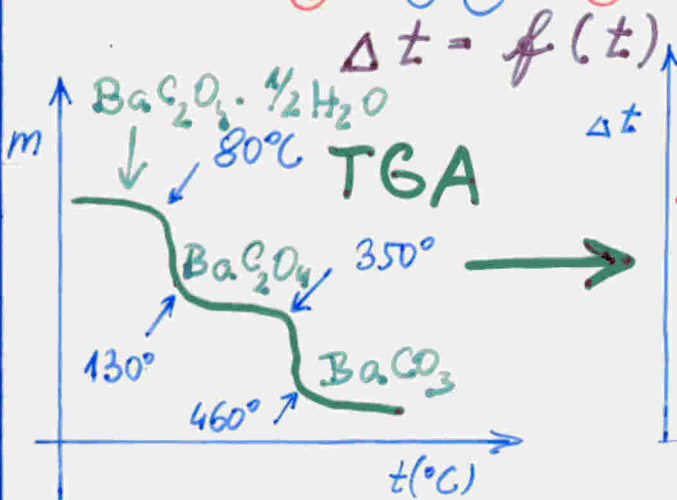


TGA
křivka

DTA



Endotermní reakce - pokles t
 Exotermní -v- -vzrůst t



180° - ztráta vody (endotermní)
 450° - oxidace CO z oxalátu (exoterm)
 520° - rozklad oxalátu (endoterm)
 565° - oxidace CO z oxal.
 790° - rhomb. - hexagon. BaCO₃

TYPY VÁŽKOVÝCH STANOVENÍ

a) Bez použití sražecího činidla - žíhání soli

Soli těžkých kovů s aniontem těžké kyseliny
 (NO_3^- , CO_3^{2-} , SO_4^{2-}) \Rightarrow CuO, ZnO, Fe₂O₃, Al₂O₃, Cr₂O₃, Bi₂O₃,
 Sb₂O₃, SnO₂, TiO₂, ZrO₂

b) Přidáním sražecího činidla

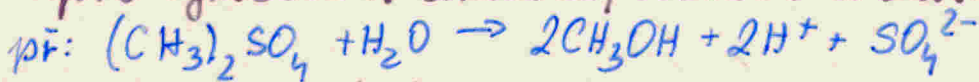
Sražedla: H₂S, HCl, H₂SO₄, NH₄OH, Na₂HPO₄, AgNO₃,
 BaCl₂. Organická sražedla: 8-hydroxychinolin,
 anthranilová kyselina, stavelová kys.

c) Srážení z homogenního prostředí

pro vylučování hydroxidů:



pro vylučování oxalátů, fosfátů a sulfátů hydrolyzou esterů:



pro vylučování sulfidů:



thioacetamid

acetamid

Přehled vážkových stanovení některých iontů

ion	srážedlo	forma srážena/vážena	teplota suš. / žih
Ag^+	HCl	AgCl	130
Al^{3+}	NH_4OH	$\text{Al}(\text{OH})_3 / \text{Al}_2\text{O}_3$	1000
	8-chinolinol	$\text{Al}(\text{C}_9\text{H}_6\text{ON})_3$	130
Ba^{2+}	H_2SO_4	BaSO_4	700
	$(\text{NH}_4)_2\text{CrO}_4$	BaCrO_4	550
Bi^{3+}	$(\text{NH}_4)_2\text{HPO}_4$	BiPO_4	800
	8-chinolinol	$\text{Bi}(\text{C}_9\text{H}_6\text{ON})_3 \cdot \text{H}_2\text{O} / \text{Bi}(\text{C}_9\text{H}_6\text{ON})_3$	130
Ca^{2+}	$(\text{NH}_4)_2\text{C}_2\text{O}_4$	$\text{CaC}_2\text{O}_4 \cdot \text{H}_2\text{O}$	105
Cu^{2+}	benzoinoxim	$\text{Cu}(\text{C}_{14}\text{H}_{11}\text{O}_2\text{N})$	110
Fe^{3+}	NH_4OH	$\text{Fe}(\text{OH})_3$	1000
	8-chinolinol	$\text{Fe}(\text{C}_9\text{H}_6\text{ON})_3$	120
Hg^{2+}	H_2S	HgS	110

ion	sraždadlo	26 forma sražená/vážená	teplota suš./žih.
Mg^{2+}	$(NH_4)_2 HPO_4$	$NH_4 Mg PO_4 \cdot 6H_2O / Mg_2 P_2 O_7$	1100
N_i^{2+}	2,3-butandion-dioxim	$N_i (C_4 H_7 O_2 N_2)_2$	120
Pb^{2+}	$K_2 Cr_2 O_7$	$PbCrO_4$	140
	kys. anthranilová	$Pb(C_7 H_6 O_2 N)_2$	110
Zn^{2+}	$(NH_4)_2 HPO_4$ β-chindinol	$NH_4 Zn PO_4 / Zn_2 P_2 O_7$ $Zn(C_9 H_6 ON)_2 \cdot 2H_2O / Zn(C_9 H_6 ON)_2$	900 130
AsO_4^{3-}	$MgCl_2, NH_4Cl$	$NH_4 Mg AsO_4 \cdot 6H_2O / Mg_2 As_2 O_7$	900
Br^-, Cl^-, I^-	$AgNO_3$	$AgCl, AgBr, AgI$	130
CrO_4^{2-}	$BaCl_2$	$BaCrO_4$	500
PO_4^{3-}	$MgCl_2, NH_4Cl$	$NH_4 Mg PO_4 \cdot 6H_2O / Mg_2 P_2 O_7$	1100
SO_4^{2-}	$BaCl_2$	$BaSO_4$	700

VÝPOČET VÁŽKOVÉ ANALÝZY

gravimetrický faktor - čím je < 1, tím je analytická chyba menší

Př: a (g) vzorku \Rightarrow b (g) $AgCl$, obsah chloridů je

$$x = \frac{A(Cl)}{M(AgCl)} \cdot b$$

Nepřímé stanovení K^+ a Na^+ vedle sebe (chloridy)

$$\begin{array}{rcl}
 KCl & NaCl & \\
 x & + & y = a \sim \text{celková hmotnost chloridů } K, Na \\
 m \cdot x & + & n \cdot y = b \sim \text{celková hmotnost } Cl^- \text{ v navážce}
 \end{array}$$

$$m = \frac{A_r(Cl^-)}{M_r(KCl)} = 0,4756 \qquad n = \frac{A_r(Cl^-)}{M_r(NaCl)} = 0,6066 \quad AgCl$$

$$x = \frac{1}{m-n} \cdot a - \frac{n}{m-n} \cdot b \qquad y = a - x$$

1) ODPAŘOVÁNÍ A 2) ODKUŘOVÁNÍ ROZTOKŮ

1) Zmenšení objemu roztoku před sražením

- v kádinkách, miskách (porcelán, Pt, PTFE)
- na vzdušné, vodní, pískové lázni; infralampou
- teplota pod. b.v. rozpouštědla - bez prskání (ztráty)

alkalické roztoky - v porcelánových miskách použitých, vyleptaných - převládá na povrchu alk. složka

kyselé roztoky - v keramických miskách nebo v použitých skleněných, převládá na povrchu kyselá složka

úplné odpaření - stanovení odparu (ve vodách na př.)

2) Odstranění přebytečných kyselin

- těkavé kyseliny na vodní lázni
- H_2SO_4 , $HClO_4$, amonné soli, $HF + SiO_2$ - vyšší teplota, písk. lázeň, infralampa, přežhnutí.